

## บทที่ 2

### วรรณกรรมและงานวิจัยที่เกี่ยวข้อง

ในบทนี้ได้กล่าวถึงวรรณกรรมและงานวิจัยที่เกี่ยวข้องกับวัสดุ  $\text{CaCu}_3\text{Ti}_4\text{O}_{12}$  (CCTO) ซึ่ง

ประกอบด้วย พื้นฐานเกี่ยวกับโครงสร้างและสมบัติทางไดอิเล็กทริกของวัสดุ CCTO ในตอนแรกของบทกล่าวถึงวัสดุที่ใช้เป็นทริกซ์คือ CCTO ซึ่งรายละเอียดประกอบด้วย ความรู้ทั่วไปเกี่ยวกับโครงสร้าง องค์ประกอบทางเคมี ผลของความถี่ อุณหภูมิและปัจจัยอื่นๆ ที่มีต่อสมบัติทางไดอิเล็กทริก จุดเริ่มต้นของการมีค่าคงที่ไดอิเล็กทริกที่สูงมากของ CCTO รวมทั้งผลของสารเจือ ที่เจือในตำแหน่ง Ca ตำแหน่ง Cu และตำแหน่ง Ti ต่อค่าคงที่ไดอิเล็กทริก ( $\varepsilon'$ ) ค่าเทนเจนการสูญเสีย ( $\tan\delta$ ) และ ค่าความไม่เป็นเชิงเส้น (Non linear) และในหัวข้อสุดท้ายในบทนี้จะกล่าวถึงการประยุกต์ใช้งานของวัสดุใจแอนท์ไดอิเล็กทริก และค่า  $\tan\delta$  ในวัสดุ CCTO ที่สามารถนำไปประยุกต์ในงานได้จริง

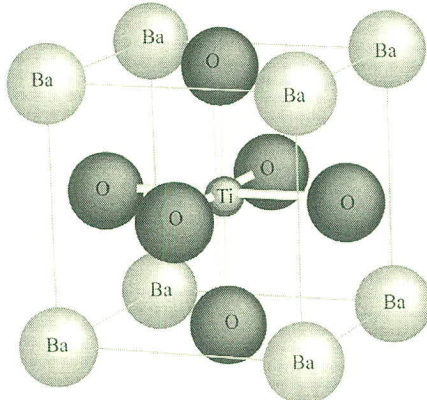
#### 1. ความรู้พื้นฐานเกี่ยวกับโครงสร้างและสมบัติทางไดอิเล็กทริกของ CCTO

##### 1.1 ความรู้พื้นฐานเกี่ยวกับโครงสร้างของ CCTO

โดยทั่วไปวัสดุออกไซด์ที่มีโครงสร้างแบบเพอร์อฟส์ไกท์ (perovskite structure) จัดเป็นกลุ่mvัสดุที่มีค่าคงที่ไดอิเล็กทริกสูง ซึ่งมีความสำคัญเป็นอย่างมากในการประยุกต์ใช้งานด้านอิเล็กทรอนิกส์ โครงสร้างในอุดมคติของเพอร์อฟส์ไกท์เป็นโครงสร้างแบบลูกบาศก์ (cubic structure) และมีสูตรทางเคมีคือ  $\text{AMO}_3$  โดยมีโคออร์ดิเนชันนัมเบอร์ (coordination number) ของไอออนบวก M และ A คือ 6 และ 12 ตามลำดับ ภายในลูกบาศก์ประกอบด้วยรูปทรงแปดเหลี่ยม (octahedral) ของ  $\text{MO}_6$  และมีมุมระหว่าง M-O-M ภายในรูปทรงแปดเหลี่ยม คือ 180 องศา หรือมุมระหว่าง O-M-O คือ 90 องศา เมื่อพิจารณาในมุมมองที่กว้างแล้วพบว่าโครงสร้างมีลักษณะเป็นโครงข่ายของ  $\text{MO}_6$  ที่เชื่อมต่อกันด้วยมุมของรูปทรงแปดเหลี่ยม  $\text{MO}_6$  [1]

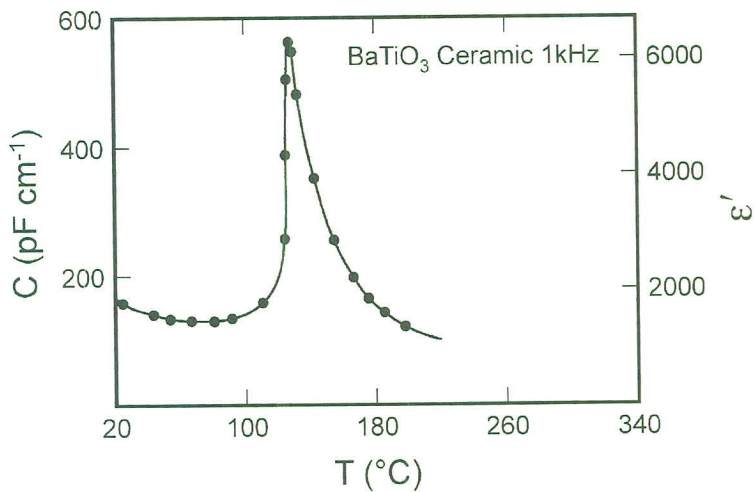
วัสดุที่มีโครงสร้างแบบเพอร์อฟส์ไกท์ที่มีค่าไดอิเล็กทริกสูง ซึ่งปัจจุบันสามารถประดิษฐ์เป็นวัสดุตัวเก็บประจุไฟฟ้านิดต่างๆ และใช้งานได้จริง ได้แก่ แบบเรียมไททาเนต  $\text{BaTiO}_3$  โดยที่  $\text{BaTiO}_3$  เป็นสารประกอบไททาเนต ที่มีอุณหภูมิคิรี (Curie temperature,  $T_c$ ) ประมาณ  $127^\circ\text{C}$  และมีค่าไดอิเล็กทริกสูงที่อุณหภูมิห้อง โดยมีค่าไดอิเล็กทริกประมาณ 2000 วัสดุ  $\text{BaTiO}_3$  มีโครงสร้างผลึกเป็นแบบ เทหะรโคนัล (Tetragonal) และที่อุณหภูมิสูงกว่า  $T_c$  วัสดุ  $\text{BaTiO}_3$  จะเปลี่ยนโครงสร้างจาก เทหะรโคนัล เป็นแบบลูกบาศก์ (Cubic) โดยมีแบบเรียบมีอ่อน ( $\text{Ba}^{2+}$ ) อยู่ที่มุมทั้งแปดของรูปลูกบาศก์

ส่วนออกซิเจนไออกอน ( $O^{2-}$ ) อยู่ที่ตระกั่งกลางของแต่ละหน้าของสี่เหลี่ยมลูกบาศก์ (face center) ส่วนไททาเนตไออกอน ( $Ti^{4+}$ ) อยู่ที่ตระกั่งกลางของลูกบาศก์ (body center) ดังแสดงในภาพที่ 2-1



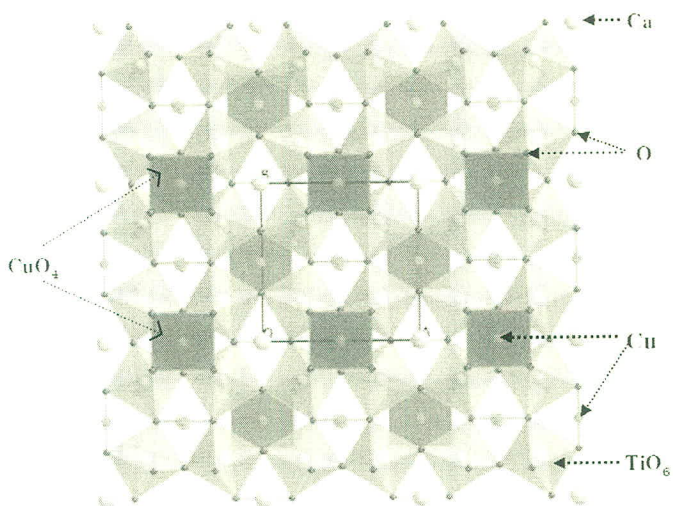
ภาพที่ 2-1 แสดงโครงสร้างแบบลูกบาศก์ของ  $BaTiO_3$

สำหรับวัสดุที่มีค่าไดอิเล็กตริกมากกว่า  $10^3$  โดยทั่วไปเป็นวัสดุที่มีแสดงสมบัติทางไฟฟ้าเป็นเฟอร์โรอิเล็กต릭 เช่น  $BaTiO_3$  จากภาพที่ 2-2 จะเห็นว่าที่อุณหภูมิ  $T_c$  วัสดุจะมีค่าไดอิเล็กตริกมากที่สุดและค่าไดอิเล็กตريكจะเปลี่ยนแปลงตามอุณหภูมิ ดังนั้นวัสดุ  $BaTiO_3$  เมื่อนำไปใช้งานจริง ค่าไดอิเล็กตريكจะเปลี่ยนแปลงอย่างมากเมื่อความร้อนเปลี่ยน ดังนั้นงานวิจัยที่ทำให้ค่าคงที่ไดอิเล็กตريكมีการเปลี่ยนแปลงกับความร้อนน้อยที่สุด หรือไม่มีการเปลี่ยนแปลงเลยจึงเป็นโจทย์วิจัยที่ได้รับความสนใจเป็นอย่างมาก

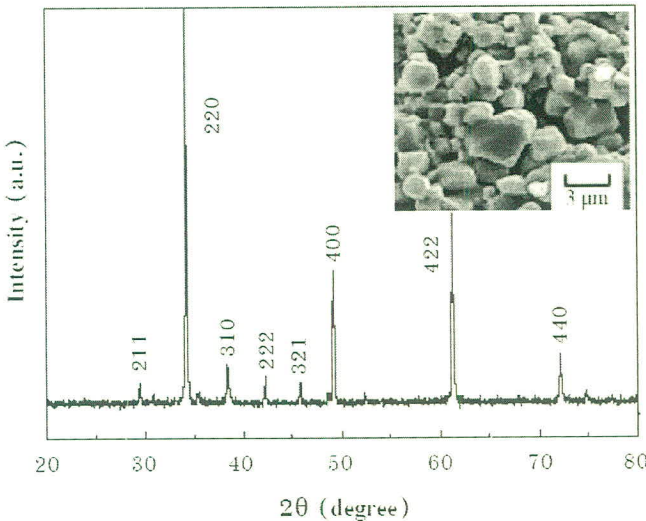


ภาพที่ 2-2 การเปลี่ยนแปลงกับอุณหภูมิของค่าไดอิเล็กตريك สำหรับวัสดุ  $BaTiO_3$

ปี ค.ศ. 2000 [1] กลุ่มของ Subramanian ได้ศึกษาสมบัติทางไดอิเล็กทริกของวัสดุกลุ่ม  $ACu_3Ti_4O_{12}$  และกลุ่ม  $A_{2/3}Cu_3Ti_4O_{12}$  (เมื่อ A คือ Ca, Cd, La, Sm, Dy, Y และ Bi) ซึ่งถือได้ว่าเป็นกลุ่mwัสดุที่มีองค์ประกอบของโครงสร้างสามพันธกับโครงสร้างเพอรอฟส์ไกร์ ผลการศึกษาพบว่า วัสดุทั้งสองกลุ่มนี้เป็นวัสดุที่มีค่าคงที่ไดอิเล็กทริกสูงมาก โดยพบว่าวัสดุ  $CaCu_3Ti_4O_{12}$  (CCTO) เป็นวัสดุที่มีคุณสมบัติทางไดอิเล็กทริกดีที่สุดคือ โดยมีค่าคงที่ไดอิเล็กทริกประมาณ 12,000 ที่ความถี่ 1 kHz และคงที่ตลอดช่วงอุณหภูมิห้องถึง 300 องศาเซลเซียส ( $^{\circ}C$ ) โครงสร้างแบบลูกบาศก์ของ  $CaCu_3Ti_4O_{12}$  จัดเป็นโครงสร้างที่มีองค์ประกอบสามพันธกับโครงสร้างแบบเพอรอฟส์ไกร์ทั่วไป เช่น โครงสร้างของ  $CaTiO_3$  ดังแสดงในภาพที่ 2-1 โดยอะตอมของแคลเซียม (Ca) อยู่ ณ ตำแหน่งแต่ละมุมของลูกบาศก์ และอิกหนึ่งอะตอมอยู่ที่จุดศูนย์กลางแต่ไม่มีพันธะกับอะตอมอื่น ภายในโครงสร้างลูกบาศก์ ประกอบด้วยรูปทรงแปดเหลี่ยมของ  $TiO_6^{2+}$  โดยมีลักษณะเอียงและเป็นโครงข่ายที่เชื่อมต่อกันด้วยอะตอมของออกไซเจน (O) ณ ตำแหน่งแต่ละมุมของทรงแปดเหลี่ยม คล้ายว่ามีการเกิดระนาบเป็นพื้นที่สี่เหลี่ยมจัตุรัสของ  $CuO_4$  ล้อมรอบໄออกอนของ Cu<sup>2+</sup> ผลของการเอียงของ  $TiO_6^{2+}$  ตั้งกล่าวนี้ทำให้มีระยะห่าง Ti-O-Ti ซึ่งโดยปกติมีค่า 180 องศา เปลี่ยนเป็น 141 องศา [1]



ภาพที่ 2-3 แสดงโครงสร้างของ  $CaTiO_3$  ซึ่งประกอบด้วยรูปทรงแปดเหลี่ยมของ  $TiO_6^{2+}$  เชื่อมต่อกันด้วยระยะห่างของ  $CuO_4$  [13]



ภาพที่ 2-4 แสดงรูปแบบการเลี้ยวเบนรังสีเอกซ์ในวัสดุเซรามิก CCTO (ภาพแทรกแสดงภาพถ่ายพื้นผิววัสดุ CCTO ด้วยเทคนิค SEM) [14]

ภาพที่ 2-4 แสดงผลการศึกษาโครงสร้างของวัสดุเซรามิก CCTO ที่เตรียมโดยวิธีปฏิกิริยาของแข็ง (Solid State Reaction, SSR) โดยเทคนิคการเลี้ยวเบนรังสีเอกซ์ (X-Ray Diffractrometer, XRD) จากภาพพบว่ารูปแบบการเลี้ยวเบนรังสีเอกซ์ในวัสดุเซรามิก CCTO สอดคล้องกับข้อมูลมาตรฐานการเลี้ยวเบนรังสีเอกซ์ในวัสดุผง CCTO และปัจจุบัน CCTO เป็นวัสดุเซรามิกแบบหลายผลึก (polycrystalline) ที่มีโครงสร้างเพอร์โพร์ฟิริกแบบลูกบาศก์ (cubic perovskite structure) [14] ส่วนภาพแทรกในภาพที่ 2-2 แสดงลักษณะพื้นผิวของวัสดุเซรามิก CCTO พบร่องรอยเมล็ดทรายเป็นรูปสี่เหลี่ยมโดยมีขนาดเกรนเฉลี่ยประมาณ 2-3 ไมโครเมตร ( $\mu\text{m}$ ) เมื่อนำวัสดุตัวอย่างไปให้ความร้อนที่อุณหภูมิ 750 องศาเซลเซียส ภายใต้บรรยากาศอาร์กอน แล้วตรวจสอบรูปแบบการเลี้ยวเบนรังสีเอกซ์และลักษณะพื้นผิวอีกครั้ง พบร่องสร้างของ CCTO ไม่เปลี่ยนแปลง และไม่พบการขยายขนาดของเกรน (grain growth)

โดยทั่วไปกลุ่มวัสดุที่มีค่าคงที่ไดอิเล็กตริกมากกว่า 1,000 จะแสดงสมบัติทางเฟอร์โรอิเล็กต릭แบบปกติ หรือแสดงสมบัติทางเฟอร์โรอิเล็กตริกแบบบรีแล็กเชอร์ ค่าคงที่ไดอิเล็กตริกของกลุ่มวัสดุที่มีคุณสมบัติดังกล่าวมีค่าเปลี่ยนแปลงตามอุณหภูมิเป็นอย่างมาก ซึ่งผลของการเปลี่ยนแปลงค่าคงที่ไดอิเล็กตริกกับอุณหภูมนี้ทำให้ วัสดุนั้นมีข้อจำกัดในการนำไปประยุกต์ใช้งาน [15] ดังนั้นเพื่อตรวจสอบการเปลี่ยนเฟสของ CCTO เนื่องจากการเปลี่ยนแปลงอุณหภูมิ ซึ่งเป็นการตรวจสอบสมบัติทางเฟอร์โรอิเล็กต릭 (ความร้อนมีผลทำให้เกิดจากการเลื่อนตำแหน่งของ  $\text{Ti}^{4+}$  ภายในทรงแปดหน้าของ  $\text{TiO}_6^+$ ) กลุ่มของ [1] ได้ทำการศึกษาการเปลี่ยนแปลงโครงสร้างของ CCTO โดยเทคนิคการเลี้ยวเบนนิวตรอน (neutron powder diffraction) ที่อุณหภูมิ -173.15 และ -198.15 องศา

เซลเซียส ดังแสดงผลการทดลองตามตารางที่ 1-1 ซึ่งพบว่า ไม่มีตัวแปรใดๆ บ่งชี้ว่ามีการเปลี่ยนเฟสเกิดขึ้นในโครงสร้าง CCTO แม้ว่าจะลดอุณหภูมิลงถึง -198.15 องศาเซลเซียส

ตารางที่ 2-1 แสดงผลการศึกษาโครงสร้างของวัสดุ CCTO โดยเทคนิคการเลี้ยวเบนนิวตรอนที่ อุณหภูมิ -173.15 และ -198.15 องศาเซลเซียส

	มุมและความยาวพันธุภาพในโครงสร้างของ CCTO ที่อุณหภูมิต่างกัน	
มุมระหว่างอะตอม	-173.15 องศาเซลเซียส	-198.15 องศาเซลเซียส
O-Ti-O	89.420(3) (degree)	89.479(3) (degree)
O-Ti-O	90.580(3) (degree)	90.521(3) (degree)
O-Ti-O	180.000 (degree)	179.980(0) (degree)
O-Cu-O	95.46(4) (degree)	95.39(4) (degree)
O-Cu-O	85.54(4) (degree)	84.61(4) (degree)
ความยาวพันธะ	-173.15 องศาเซลเซียส	-198.15 องศาเซลเซียส
Ca-O	2.6024(7) ( $\text{\AA}$ )	2.6006(6) ( $\text{\AA}$ )
Ti-O	1.9611(2) ( $\text{\AA}$ )	1.95890(2) ( $\text{\AA}$ )
Ca-O	1.9675(7) ( $\text{\AA}$ )	1.9642(6) ( $\text{\AA}$ )
ตัวแปรแล็ชทิก (Lattice parameter, a)	7.39347(3) ( $\text{\AA}$ )	7.38246(3) ( $\text{\AA}$ )

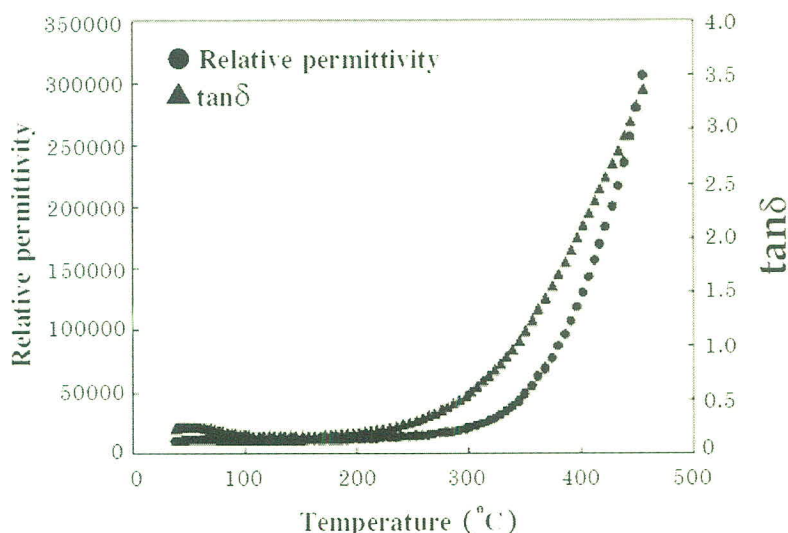
## 2. สมบัติทางไดอิเล็กทริกของวัสดุ CCTO

### 2.1 การเปลี่ยนแปลงสมบัติทางไดอิเล็กทริกของวัสดุ CCTO เทียบกับอุณหภูมิ

เนื่องจากสมบัติทางไดอิเล็กทริก (เช่น ค่าคงที่ไดอิเล็กทริก ค่าแทนเนนต์ของการสูญเสีย

ทางไดอิเล็กทริก ( $\tan\delta$ ) จะเป็นตัวกำหนดความเหมาะสมของวัสดุไดอิเล็กทริกสำหรับการประยุกต์ใช้งานในด้านต่างๆ [16] ดังนั้นการศึกษาผลของการเปลี่ยนแปลงของค่าคงที่ไดอิเล็กทริกเมื่อเทียบกับอุณหภูมิในวัสดุเซรามิก CCTO จึงมีความจำเป็นอย่างยิ่ง โดยทั่วไปวัสดุไดอิเล็กทริกที่มีค่าคงที่ไดอิเล็กทริกแปรตามอุณหภูมิจัดเป็นวัสดุที่ไม่เหมาะสมสำหรับการประยุกต์ใช้งาน ดังนั้นการเลือกใช้วัสดุไดอิเล็กทริกเพื่อประดิษฐ์เป็นชิ้นส่วนของอุปกรณ์อิเล็กทรอนิกส์จึงจำเป็นอย่างยิ่งที่จะต้องมีค่าคงที่ไดอิเล็กทริกที่เสถียรต่อการเปลี่ยนแปลงอุณหภูมิ ถ้าใช้วัสดุที่มีค่าคงที่ไดอิเล็กทริกแปรตามอุณหภูมิแล้วอาจทำให้วัสดุไฟฟ้าที่มีอุปกรณ์ดังกล่าวเป็นส่วนประกอบเกิดความเสียหายได้ [17]

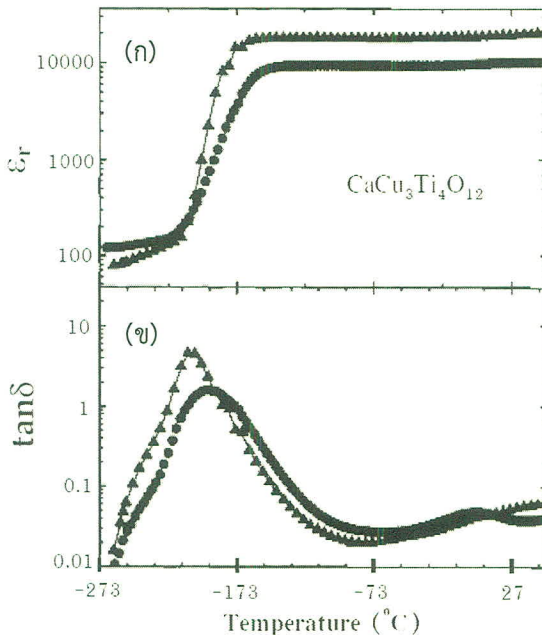
ปี ค.ศ. 2000 กลุ่มของ Subramanian [1] ได้ศึกษาสมบัติทางไดอิเล็กทริกของวัสดุ CCTO จากอุณหภูมิห้องถึง  $450^{\circ}\text{C}$  องศาเซลเซียส พบร่วมค่าคงที่ไดอิเล็กทริกที่อุณหภูมิห้องมีค่าที่สูงมากประมาณ  $10^4$  (ที่ความถี่  $1 \text{ MHz}$ ) ดังแสดงในภาพที่ 2-5 จากภาพพบว่าค่าไดอิเล็กทริกประมาณ อุณหภูมิเล็กน้อยในช่วงอุณหภูมิห้องถึง  $250$  องศาเซลเซียส และเมื่อพิจารณาค่า  $\tan\delta$  พบร่วมมีค่า น้อยมากที่อุณหภูมิห้องถึง  $300$  องศาเซลเซียส แต่มีอุณหภูมิสูงขึ้น (มากกว่า  $300$  องศาเซลเซียส) ค่า  $\tan\delta$  จะมีค่าเพิ่มมากขึ้นอันเนื่องมาจากการนำไฟฟ้ากระแสตรงในเนื้อสาร (dc conductivity) [17] โดยผลของการนำไฟฟ้ากระแสตรงจะปรากฏชัดเจนมากเมื่ออุณหภูมิเพิ่มมากขึ้น และที่ความถี่ต่ำ



ภาพที่ 2-5 แสดงค่าคงที่ไดอิเล็กทริกและค่าแทนเนณ്ട์ของการสูญเสียทางไดอิเล็กทริก ( $\tan\delta$ ) ของวัสดุ CCTO ในช่วงอุณหภูมิ  $25$  ถึง  $450^{\circ}\text{C}$  ที่ความถี่  $1 \text{ MHz}$  [1]

ต่อมา ปี ค.ศ. 2000 [18] กลุ่มของ Ramirez ได้ศึกษาการเปลี่ยนแปลงค่าคงที่ไดอิเล็กทริก ในวัสดุ CCTO เมื่อเทียบกับอุณหภูมิ โดยขยายช่วงของอุณหภูมิในการศึกษาไปที่อุณหภูมิต่ำ คือจาก อุณหภูมิห้องลดลงถึง  $-263^{\circ}\text{C}$  ดังแสดงในภาพที่ 2-6 (g) จากผลการทดลองพบว่าค่าคงที่ไดอิเล็กทริกที่อุณหภูมิห้องของวัสดุ CCTO มีค่าใกล้เคียงกับค่าจากรายงานการวิจัยของกลุ่ม Subramanian (2000) [1] และมีค่าค่อนข้างคงที่ตลอดช่วงอุณหภูมิห้องลดลงไปถึงอุณหภูมิประมาณ  $-173^{\circ}\text{C}$  แต่เมื่ออุณหภูมิต่ำกว่า  $-173^{\circ}\text{C}$  ค่าคงที่ไดอิเล็กทริกมีการลดลงอย่างฉับพลัน โดยที่อุณหภูมิประมาณ  $-213^{\circ}\text{C}$  ค่าคงที่ไดอิเล็กทริกลดลงประมาณ  $100$  เท่าของค่าคงที่ไดอิเล็กทริกที่อุณหภูมิห้อง ซึ่งการ

ลดลงของค่าคงที่ไดอิเล็กตริกดังกล่าวที่สอดคล้องกับการเกิดยอดกราฟของค่าแทนเจนต์ของการสูญเสียทางไดอิเล็กตริก ดังแสดงในภาพที่ 2-6 (ข)



ภาพที่ 2-6 แสดงการเปลี่ยนแปลงตามอุณหภูมิของ (g) ค่าคงที่ไดอิเล็กตริก และ (h) ค่าแทนเจนต์ของการสูญเสียทางไดอิเล็กตริก ที่ความถี่ 1 kHz ในวัสดุเซรามิก CCTO [18]

จากรายงานการวิจัยของทั้งสองกลุ่มที่กล่าวมานี้สรุปได้ว่า ค่าคงที่ไดอิเล็กตริกของ CCTO ค่อนข้างคงที่ตลอดช่วงอุณหภูมิ  $-173^{\circ}\text{C}$  ถึง  $250^{\circ}\text{C}$  และมีค่าลดลงอย่างฉับพลันที่อุณหภูมิประมาณ  $-173^{\circ}\text{C}$  ซึ่งสอดคล้องกับการเกิดยอดกราฟฐานกว้างขึ้นที่อุณหภูมิประมาณ  $-213^{\circ}\text{C}$  ถึง  $-193^{\circ}\text{C}$  ในเส้นกราฟค่าแทนเจนต์ของการสูญเสียทางไดอิเล็กตริก ซึ่งพฤติกรรมที่เกิดขึ้นดังกล่าวเนี้ย คล้ายกับพฤติกรรมที่พบในกลุ่mv วัสดุเฟอร์โรอิเล็กตริก แต่ในช่วงของการเกิดยอดกราฟดังกล่าวเนี้ยไม่มีการตรวจพบการเปลี่ยนแปลงโครงสร้างของ CCTO หรือไม่มีการเปลี่ยนเฟสของโครงสร้าง ซึ่งผลดังกล่าวเนี้ย แตกต่างกับสมบัติทางเฟอร์โรอิเล็กตริกที่มีการเปลี่ยนแปลงโครงสร้างภายในวัสดุ อีกทั้งเมื่อพิจารณากราฟความสัมพันธ์ระหว่างค่าคงที่ไดอิเล็กตริกกับอุณหภูมิ พบร่วมกับค่าแทนเจนต์ พฤติกรรมทางเฟอร์โรอิเล็กตริก

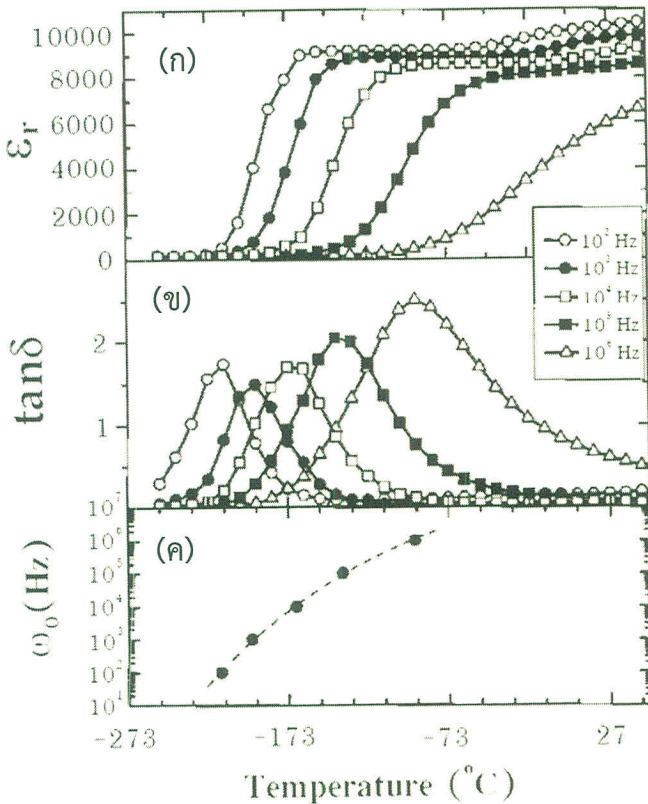
## 2.2 ผลของความถี่ต่อสมบัติทางไดอิเล็กตริกของ CCTO ที่อุณหภูมิต่างๆ

โดยทั่วไปแล้วค่าคงที่ไดอิเล็กตริกของวัสดุทุกประเภทที่อุณหภูมิคงที่เดียว จะมีค่าลดลงเมื่อความถี่ของสนามที่ให้เพิ่มขึ้น เนื่องจากว่าที่ความถี่ต่ำๆ การโพลาไรเซชันของวัสดุสามารถเกิดได้

อย่างสมบูรณ์แต่เมื่อความถี่เพิ่มขึ้นการตอบสนองทางไฟล้าเรซันจะลดลง ส่งผลให้ค่าคงที่ไดอิเล็กตริกมีค่าลดลงเมื่อความถี่เพิ่มขึ้น เพื่อความเหมาะสมในการเลือกใช้วัสดุไดอิเล็กตริกสำหรับประดิษฐ์เป็นขั้นส่วนของอุปกรณ์อิเล็กทรอนิกส์ จำเป็นอย่างยิ่งที่ต้องพิจารณาทั้งผลของความถี่และอุณหภูมิต่อสมบัติทางไดอิเล็กตริกของวัสดุไดอิเล็กตริกควบคู่กันไป

ปี ค.ศ. 2000 [18] กลุ่มของ Ramirez ได้ศึกษาผลของอุณหภูมิต่อค่าคงที่ไดอิเล็กตริก และค่าแทนเจนต์ของการสูญเสียทางไดอิเล็กตริกของ CCTO ในช่วงความถี่ระหว่าง 100 Hz ถึง 1 MHz ดังแสดงในภาพที่ 2-7 (ก) จากภาพพบว่าความถี่มีผลอย่างมากต่อค่าคงที่ไดอิเล็กตริก (โดยตัวแทนที่ค่าคงที่ไดอิเล็กตริกเริ่มลดลงอย่างฉับพลันจะเลื่อนตำแหน่งไปสู่อุณหภูมิที่สูงขึ้นเมื่อความถี่เพิ่มขึ้น ซึ่งพฤติกรรมดังกล่าวเนื้อคล้ายกับปรากฏการณ์ที่เกิดขึ้นในวัสดุจำพวกเฟอร์โรอิเล็กตริกแบบรีแลกเซอร์แต่เมื่อพิจารณาที่อุณหภูมิสูงพบว่าการเปลี่ยนแปลงของค่าคงที่ไดอิเล็กตริกมีลักษณะแตกต่างจากพฤติกรรมทางรีแลกเซอร์ การลดลงอย่างฉับพลันของค่าคงที่ไดอิเล็กตริกมีสาเหตุเนื่องจากการตึงตัวของไดโพลไฟฟ้าและทำให้เกิดกระบวนการการรีแลกเซชัน (relaxation process) ส่งผลให้การตอบสนองทางไฟล้าเรซันลดลง

จากผลการศึกษาพบว่าอุณหภูมิต่อค่าแทนเจนต์ของการสูญเสียทางไดอิเล็กตริก ดังแสดงในภาพที่ 2-7 (ข) ในช่วงความถี่จาก 100 Hz ถึง 1 MHz พบว่าในแต่ละความถี่จะปรากฏยอดกราฟของค่าแทนเจนต์ของการสูญเสียทางไดอิเล็กตริก (หรือเรียกว่ายอดกราฟของการรีแลกเซชัน) และสอดคล้องกับการลดลงอย่างฉับพลันของค่าคงที่ไดอิเล็กตริก เมื่อความถี่เพิ่มขึ้นตำแหน่งยอดกราฟของค่าแทนเจนต์ของการสูญเสียทางไดอิเล็กตริกจะเลื่อนไปยังตำแหน่งไปสู่อุณหภูมิที่สูงขึ้น โดยพฤติกรรมดังกล่าวเนี้ยเป็นสิ่งที่บ่งชี้ถึงกระบวนการการเกิดรีแลกเซชันเนื่องจากถูกกระตุ้นด้วยความร้อน ส่วนภาพที่ 2-7 (ค) เป็นภาพแสดงความสัมพันธ์ระหว่างความถี่  $\omega$  กับอุณหภูมิ ณ ตำแหน่งแต่ละยอดกราฟของค่าแทนเจนต์ของการสูญเสียทางไดอิเล็กตริก โดย  $\omega$  ของแต่ละยอดกราฟสามารถหาได้จากข้อมูลของแทนเจนต์ของการสูญเสียทางไดอิเล็กตริก (ภาพที่ 2-7 (ข)) การเปลี่ยนแปลงอย่างมากของ  $\omega$  กับอุณหภูมิเป็นพฤติกรรมที่ต่างไปจากการเปลี่ยนแปลงทางไฟล้าเรซันเนื่องจากความร้อน



ภาพที่ 2-7 แสดงกราฟการเปลี่ยนแปลงกับอุณหภูมิของค่าคงที่ไดอิเล็กตริก (ก) ค่า แทนเจนต์ของการสูญเสียทางไดอิเล็กตริก (ข) และ ความถี่  $\omega_0$  (ค) ณ ตำแหน่งยอดกราฟของค่าแทนเจนต์ของการสูญเสียทางไดอิเล็กตริก ของวัสดุเซรามิก CCTO ในช่วงความถี่ 100 Hz ถึง 1 MHz [18]

### 2.3 สาเหตุของการมีค่าคงที่ไดอิเล็กตริกสูงของ CCTO

วัสดุที่มีโครงสร้างแบบเพอรอฟส์ไกต์โดยปกติมีค่าคงที่ไดอิเล็กตริกสูงมาก ซึ่งสามารถแบ่งได้สองกลุ่มด้วยกัน คือ กลุ่มวัสดุเฟอร์โรอิเล็กตริกแบบปกติ เช่น  $Pb(Zr, Ti)O_3$  (PZT) และ  $BaTiO_3$  และกลุ่มวัสดุเฟอร์โรอิเล็กตริกแบบรีแลกเซอร์ เช่น  $Pb(Mg_{1/3} Nb_{2/3})O_3$  (PMN),  $Pb(Zn_{1/3} Nb_{2/3})O_3$  (PZN),  $Pb(Sc_{1/2} Ta_{1/2})O_3$  (PST) และ  $(Bi, Sr)TiO_3$  ซึ่งวัสดุทั้งสองกลุ่มนี้ถูกศึกษาอย่างกว้างขวางเพื่อการประยุกต์ใช้งานทางด้านอิเล็กทรอนิกส์ เช่น DRAM (Dynamic Random Access Memory) แต่อย่างไรก็ตาม วัสดุทั้งสองกลุ่มนี้ยังมีการเปลี่ยนแปลงค่าคงที่ไดอิเล็กตริกกับอุณหภูมิเป็นอย่างมาก ซึ่งเป็นเป็นข้อจำกัดสำหรับการประยุกต์ใช้งาน [17]

วัสดุออกไซเด็ดเพอรอฟส์ไกต์ CCTO เป็นวัสดุที่มีค่าคงที่ไดอิเล็กตริกที่สูงมาก ( $10^3$  -  $10^5$ ) และค่าคงที่ไดอิเล็กตริกประมาณอุณหภูมน้อยมากในช่วงอุณหภูมิ  $-173$  ถึง  $250$  °C [1, 15, 18] ด้วยคุณสมบัติทางไดอิเล็กตริกที่เป็นเลิศนี้ ทำให้วัสดุ CCTO ได้รับความสนใจเป็นอย่างมากทั้งในด้านของ

การศึกษาฐานทางวิทยาศาสตร์และด้านการประยุกต์ใช้งาน ซึ่งส่วนมากการวิจัยจะมุ่งเน้นศึกษาการมีค่าคงที่โดยอิเล็กตริกที่สูงมากในวัสดุ CCTO และ ทำไม่ค่าคงที่โดยอิเล็กตริกจึงลดลงอย่างฉับพลันที่อุณหภูมิต่ำกว่า  $-173^{\circ}\text{C}$  เพื่อที่จะตอบคำถามดังกล่าวนี้จึงได้มีการศึกษาสมบัติทางด้านต่างๆ ของ CCTO และในส่วนของผลการศึกษาสมบัติทางได้อิเล็กตริกได้พบร่องรอยที่น่าสนใจสองประการที่เกี่ยวข้องกับการค้นหาค่าคงที่ดังกล่าว ประการแรกคือเกิดยอดกราฟของค่าแทนเจนต์ของการสูญเสียทางได้อิเล็กตริก (ภาพที่ 2-6 (ข)) ซึ่งลักษณะดังกล่าวనีคล้ายกับพฤติกรรมที่พบในวัสดุเฟอร์โรอิเล็กตริกแบบปกติ และประการที่สองคือ การเลื่อนตำแหน่งของการเปลี่ยนแปลงค่าคงที่โดยอิเล็กตริกอย่างฉับพลันตามความถี่ (ภาพที่ 2-7 (ก)) โดยลักษณะดังกล่าวనีคล้ายกับพฤติกรรมที่พบในวัสดุประเภทเฟอร์โรอิเล็กตริกแบบปรีแลกเซอร์ ดังนั้นสมมติฐานข้อแรกสำหรับการค้นหาความจริงของการมีค่าคงที่โดยอิเล็กตริกที่สูงมากของ CCTO จึงมุ่งประเด็นไปที่สมบัติทางเฟอร์โรอิเล็กตริกแบบปกติและเฟอร์โรอิเล็กตริกแบบปรีแลกเซอร์ แต่สมมติฐานดังกล่าวนี้ต้องยุติลง เนื่องจากจากผลการศึกษาการเปลี่ยนเฟสโครงสร้างเนื่องจากความร้อนด้วยเทคนิคการเลี้ยวเบนของนิวตรอน [1] และเทคนิคการเลี้ยวเบนของรังสีเอกซ์ความเข้มสูง (high-resolution X-ray) [18] ซึ่งจากการทดลองพบว่า โครงสร้างของ CCTO ยังคงเป็นแบบลูกบาศก์เหมือนเดิมและไม่มีการเปลี่ยนเฟสเกิดขึ้นตลอดช่วงอุณหภูมิของการทดสอบสมบัติทางได้อิเล็กตริก จากผลดังกล่าวนี้สามารถบ่งชี้ได้ว่า CCTO ไม่มีสมบัติเป็นวัสดุเฟอร์โรอิเล็กตริก และในส่วนของการทดสอบสมบัติทางเฟอร์โรอิเล็กตริกแบบปรีแลกเซอร์ สามารถยืนยันได้ว่า CCTO ไม่มีคุณสมบัติดังกล่าวนี้เช่นกัน เนื่องจากผลการศึกษาโครงสร้างที่อุณหภูมิต่ำๆ [1, 18] พบว่า ไอออนบวกของ Cu, Ca และ Ti ในโครงสร้างยังคงจัดเรียงตัวกันอย่างเป็นระเบียบ (no cation disorder) และค่าคงที่โดยอิเล็กตริกเปลี่ยนแปลงกับอุณหภูมิน้อยมากที่อุณหภูมิสูงๆ ซึ่งตรงกันข้ามกับพฤติกรรมแบบคูรี-ไวซ์ (Curie-Weiss) ที่อุณหภูมิสูงของเฟอร์โรอิเล็กตริกแบบปรีแลกเซอร์ [19]

เมื่อไม่นานมานี้มีนักวิจัยหลายกลุ่มศึกษาค้นคว้าถึงความเป็นไปได้ในแง่มุมต่างๆ อย่างกว้างขวาง สำหรับสาเหตุของการมีค่าคงที่โดยอิเล็กตริกที่สูงมากของวัสดุ CCTO โดยทุกกลุ่มได้มุ่งไปที่สองประเด็นใหญ่ๆ ด้วยกัน ประเด็นแรก คือเกิดจากผลของธรรมชาติในตัวเอง (intrinsic physics effects) ซึ่งเป็นสมบัติที่เกี่ยวข้องกับการโครงสร้างผลึก [1] และอีกประเด็นมุ่งเน้นที่ผลจากอิทธิพลภายนอก (extrinsic effects) เช่นการเกิดโครงสร้างทางจุลภาคที่ประกอบด้วยส่วนของเกรนที่มีสมบัติเป็นสารกึ่งตัวนำ (semiconducting grain, SG) และส่วนของชั้นฉนวนบริเวณขอบเขตระหว่างเกรน (grain boundary, G.B.) ทำให้ดูคล้ายกับว่าภายในเนื้อสารประกอบด้วยตัวเก็บประจุแบบชั้นวางกันภายใน (internal-barrier-layer capacitor, IBLC) โดยเกรนทำหน้าที่เป็นอิเล็กโทรดและชั้นฉนวนที่กันระหว่างเกรนทำหน้าที่เป็นได้อิเล็กตริก ลักษณะโครงสร้างดังกล่าวนี้เกิดได้ทั้งใน CCTO แบบหลักและแบบผลึกและแบบผลึกเดียว โดยในกรณีของผลึกเดียว G.B. เกิดขึ้นบริเวณขอบเขตคู่ (twins)

boundary) ของหน่วยเซลล์ [1, 20] และยังมีปัจจัยอื่นๆ อีก เช่นการเกิดโพลาไรเซชันระหว่างผิว (interfacial polarization) ของวัสดุตัวอย่างกับอิเล็กโทรด [21, 22]

### 2.3.1 ผลของธรรมชาติในตัวเอง (intrinsic physics effects)

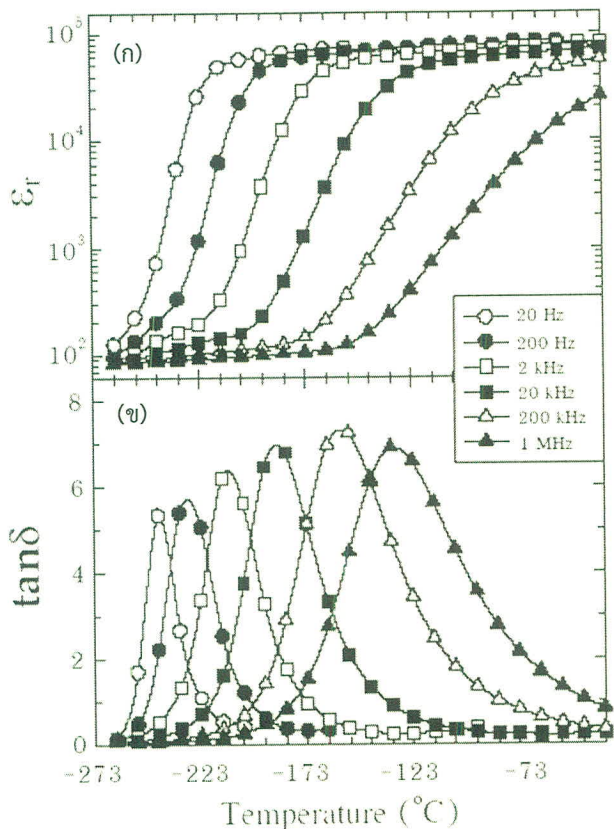
ปี ค.ศ. 2001 [15] กลุ่มของ Homes ได้รายงานการศึกษาพฤติกรรมและสมบัติทางไดอิเล็กตริกของผลึกเดี่ยว (single crystal) CCTO ที่อุณหภูมิจาก -263 ถึง 27 °C และความถี่จาก 20 Hz ถึง 1 MHz ดังแสดงในภาพที่ 2-8 ซึ่งพบว่าค่าคงที่ไดอิเล็กตริกมีค่าสูงกว่า CCTO แบบหลายผลึกที่รายงานโดย Ramirez et al. (2000) [18] (~10<sup>4</sup>) โดยมีค่าประมาณ 10<sup>5</sup> (ที่อุณหภูมิห้องและที่ความถี่ต่ำ) แต่พุตติกรรมทางไดอิเล็กตริกมีลักษณะคล้ายกับที่พบใน CCTO แบบหลายผลึก คือ มีการเลื่อนตำแหน่งการลดลงอย่างฉับพลันของค่าคงที่ไดอิเล็กตริกและยอดกราฟของแทนเงน์ของ การสูญเสียทางไดอิเล็กตริก ที่สอดคล้องกับการเปลี่ยนแปลงความถี่

เพื่อให้เข้าใจถึงพุตติกรรมทางไดอิเล็กตริกของผลึกเดี่ยว CCTO ที่มีค่าคงที่ไดอิเล็กตริกที่สูงมาก ได้มีการบ่งชี้ว่ากระบวนการทางกายภาพในระบบเกิดขึ้นเนื่องจากผลของธรรมชาติการรีแลก เชชันตามแบบจำลองของเดบาย (Debye model) ซึ่งเป็นการรีแลกเชชันเนื่องจากไดโอลไฟฟ้าavar และปรากฏอย่างเด่นชัดมากจากผลการทดลอง ดังแสดงในภาพที่ 2-8 (ข) การตอบสนองต่อความถี่ของไดอิเล็กตริกสามารถอธิบายได้ดังสมการที่ (2-1) [15]

$$\tilde{\varepsilon}(\omega) = \varepsilon_{\infty} + \frac{P_0 \tau (1 + i\omega\tau)}{1 + i(\omega\tau)^2} \quad (2-1)$$

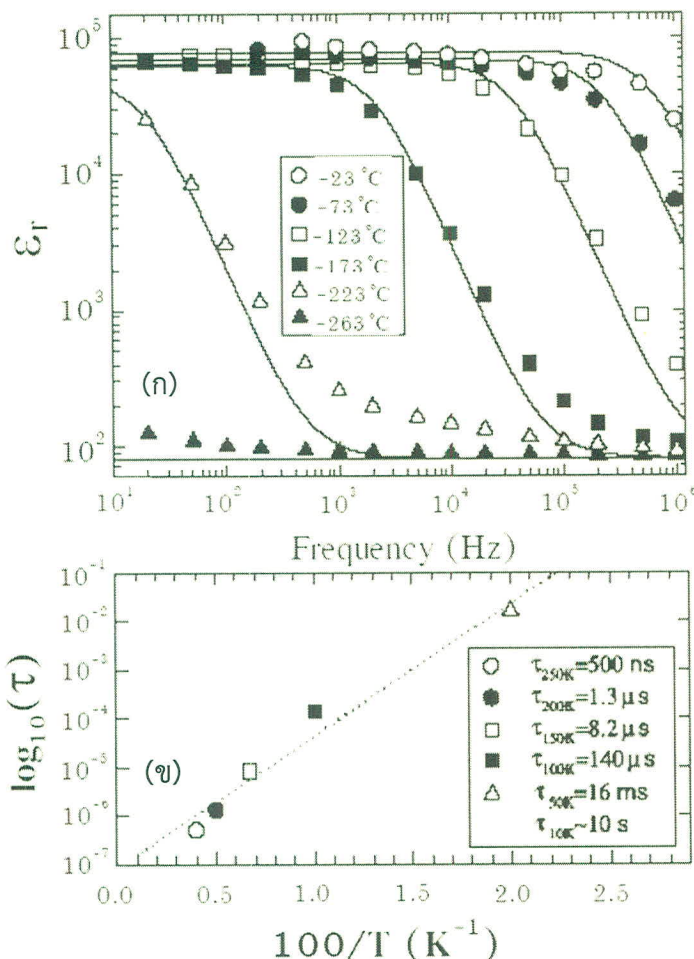
โดย  $P_0\tau = \varepsilon_0 - \varepsilon_{\infty}$  เมื่อ  $P_0$  คือ ไดโอลไมเมนต์,  $\varepsilon_{\infty}$  คือค่าคงที่ไดอิเล็กตริกที่ความถี่สูง,  $\varepsilon_0$  คือ ค่าคงที่ไดอิเล็กตริกที่ความถี่ต่ำ,  $\tau$  คือเวลาของการรีแลกเชชัน และ  $\omega = 2\pi f$  จากการปรับตัวแปรในแบบจำลองของเดบายให้ได้กราฟตรงกับกราฟจากผลการทดลองดังแสดงในภาพที่ 2-9 (ก) ทำให้สามารถหาเวลาของการรีแลกเชชัน (relaxation time,  $\tau$ ) ที่อุณหภูมิต่างๆ ได้ดังแสดงในภาพที่ 2-9 (ข) จากภาพพบว่าที่อุณหภูมิห้องการเกิดรีแลกเชชันใช้เวลาอย่างรวดเร็ว  $\tau \leq 500\text{ns}$  และเริ่มขึ้นตามการลดลงของอุณหภูมิมากของค่า  $\tau$  กับอุณหภูมิ โดยค่า  $\tau$  มีค่าลดลงอย่างรวดเร็วเมื่ออุณหภูมิเพิ่มมากขึ้น ซึ่งเป็นสิ่งที่บ่งชี้ว่ามีการเพิ่มขึ้นของความหนาแน่นของไดโอลไฟฟ้าและมีการเกิดโพลาไรเซชันอย่างรวดเร็ว และจากความชันของกราฟดังกล่าวที่สามารถนำมารวบรวมพลังงานกระตันการเกิดรีแลกเชชัน (activation energy,  $U$ ) ได้ดังสมการที่ (2-2)

$$\tau = \tau_0 \exp\left(\frac{U}{k_B T}\right) \quad (2-2)$$



ภาพที่ 2-8 แสดงการเปลี่ยนแปลงกับอุณหภูมิของค่าคงที่ไดอิเล็กตริก (ก) และ ค่าแทนเจนต์ของการสูญเสียทางไดอิเล็กตริก (ข) ของผลึกเตี้ยๆ CCTO ในช่วงความถี่ 20 Hz ถึง 1 MHz [15]

เมื่อ  $k_B$  คือค่าคงที่เบล์ซmann (Bolzmann constant) และ  $\tau_0$  คือ pre-exponential factor และจากผลการทดลองพบว่าพลังงานกระตุ้นการเกิดรีแลกเซชันมีค่าเท่ากับ 54 meV



ภาพที่ 2-9 (ก) แสดงการเปรียบเทียบค่าคงที่ไดอิเล็กตริกจากผลการทดลอง (จุด) กับแบบจำลองของเดบาย (เส้นทึบ) ที่อุณหภูมิและความถี่ต่างๆ และ (ข) กราฟแสดงความสัมพันธ์ระหว่าง  $\log_{10}(\tau)$  กับ  $100/T [15]$

จากการศึกษาพฤติกรรมและสมบัติทางไดอิเล็กตริกของ CCTO ผลักเดี่ยว กลุ่มของ Homes (2001) [15] ได้เสนอว่าการมีค่าคงที่ไดอิเล็กตริกที่สูงมากของวัสดุ CCTO เกิดโดยธรรมชาติของตัววัสดุเอง โดยอาจมีสาเหตุเนื่องจากการมีพัฒนาระดับนาโนเมตรการตอบสนองต่อสนามไฟฟ้าภายในมีการลดกำลังลง ดังที่ปรากฏเด่นชัดในการเพิ่มขึ้นของเวลาของการรีแลกเซ็น และการลดลงอย่างฉับพลันของค่าคงที่ไดอิเล็กตริกเมื่ออุณหภูมิลดต่ำลง อย่างไรก็ตาม การที่ไม่สามารถพบรากурсเปลี่ยนแปลงโครงสร้างของผลึก ทำให้ข้อเสนอตั้งกล่าวไม่ถูกต้องและเกิดคำนำที่ตามมาในการอธิบายถึงสาเหตุของการมีค่าคงที่ไดอิเล็กตริกที่สูงมากในวัสดุ CCTO

กลุ่มของ Subramanian (2000) [1] ได้เสนอว่าการมีค่าคงที่ไดอิเล็กตริกสูงที่สุดของ CCTO ในกลุ่มวัสดุ  $ACu_3 Ti_4 O_{12}$  มีสาเหตุเนื่องจากโครงสร้างภายในผลึก โดยได้ศึกษาความสัมพันธ์

ระหว่างสมบัติทางไดอิเล็กตริกของ CCTO กับการเลื่อนตำแหน่งของไอออน  $Ti^{4+}$  เปรียบเทียบกับวัสดุ

เฟอร์โรอิเล็กตริก  $BaTiO_3^{4+}$  พบร่วมกับการสมมาตรของตำแหน่ง  $Ti^{4+}$  ใน CCTO มีความสมมาตรน้อยกว่าใน

$BaTiO_3^{4+}$  ส่งผลให้ความเป็นไปได้ในการเปลี่ยนเฟสทางเฟอร์โรอิเล็กตริกเนื่องจากการเลื่อนตำแหน่ง

ของ  $Ti^{4+}$  ลดลง

### 2.3.2 ผลเนื่องจากอิทธิพลภายนอก (extrinsic effects)

เป็นที่ทราบกันดีว่าวัสดุออกไซด์ที่ประกอบด้วย  $TiO_2$  และ  $(Ca, Sr, Ba)TiO_3$  เป็น

วัสดุชนวนที่สามารถลดสภาพต้านทานไฟฟ้าได้โดยการลดจำนวนออกซิเจนในโครงสร้าง ตัวอย่างเช่น

สภาพต้านทานไฟฟ้าของ  $BaTiO_{3-\delta}^{12+}$  ที่อุณหภูมิห้องมีค่าประมาณ  $10^{12} \Omega.cm$  แต่ภายหลังจากให้

ความร้อนที่อุณหภูมิ  $1,300^\circ C$  ภายใต้ความดันบรรยากาศของ  $5\% H_2 / 95\% N_2 (002.0 \leq \delta)$  สภาพ

ต้านทานจะลดลงอย่างมากโดยมีค่าประมาณ  $10 \Omega.cm$  และการยับยั้งการเกิดปฏิกิริยาออกซิเดชัน

ในวัสดุเซรามิก โดยการให้ความร้อนสูงภายใต้ความดันต่ำกว่าความดันบรรยากาศและเงื่อนไขที่

เหมาะสมอื่นๆ สามารถหนีบยาน้ำให้เกิดชั้นของชนวนบางๆ ตามผิวน้ำของวัสดุตัวอย่างหรือเกิดตาม

แนวขอบเขตระหว่างเกรนและบริเวณภายนอกของแต่ละเกรนได้ โครงสร้างทางจุลภาคลักษณะ

ดังกล่าวเรียกว่า IBLC (internal barrier layer capacitor) ซึ่งการมีโครงสร้างทางจุลภาคเช่นนี้จะ

มีผลทำให้ค่าคงที่ไดอิเล็กตริกของวัสดุมีค่าสูงมาก [20] ดังนั้นจึงมีความเป็นไปได้ที่ค่าคงที่ไดอิเล็กตริก

ที่สูงมากของ CCTO อาจมีสาเหตุเนื่องจากการเกิดโครงสร้างทางจุลภาคแบบ IBLC แต่เป็นที่ทราบกัน

ดีว่าในปัจจุบันตัวเก็บประจุที่ประดิษฐ์จากวัสดุเซรามิกที่มีโครงสร้างทางจุลภาคแบบ IBLC ที่พับใน

ท้องตลาดทั่วไปส่วนใหญ่ผลิตจากวัสดุเซรามิกที่ประกอบด้วย  $(Ba, Sr)TiO_3$  ซึ่งเป็นวัสดุเซรามิกที่ใช้

กระบวนการสังเคราะห์ที่ยุ่งยากซับซ้อนและheavy คือต้องสังเคราะห์ที่อุณหภูมิสูง และที่

ความดันบรรยากาศต่ำมาก อีกทั้งต้องควบคุมการแพร่ของออกซิเจนหรือต้องเจือสารด้วยไอออนต่างๆ

เพื่อสร้างชั้นชนวนระหว่างเกรน [19] ดังนั้นเมื่อพิจารณาถึงจุดนี้แล้ว ความเป็นไปได้ของ CCTO ที่จะ

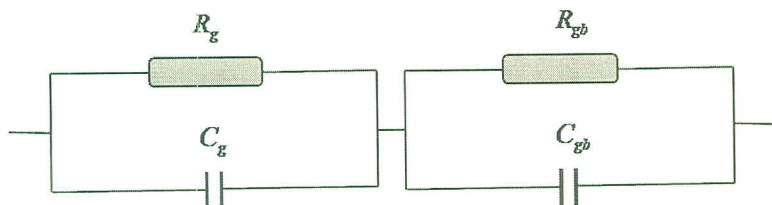
มีโครงสร้างแบบ IBLC ค่อนข้างเป็นไปได้มาก

ปี ค.ศ. กลุ่มของ Sinclair (2002) [20] ได้เสนอว่า มีความเป็นไปได้ที่ CCTO จะมีโครงสร้างทางจุลภาคแบบ IBLC โดยได้ศึกษาสภาพนำไฟฟ้าและความจุไฟฟ้าทั้งภายในเกรนและ

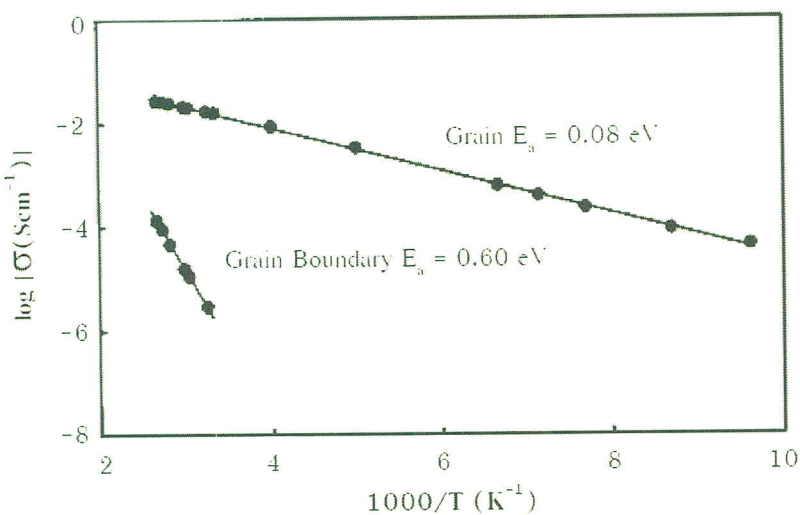
ขอบเขตระหว่างเกรนของ CCTO โดยการวิเคราะห์ด้วยเทคนิคคอมพิวเตอร์สเปกตรอสโคปี

(impedance spectroscopy) หลักการวิเคราะห์ คือ ใช้แบบจำลองของวงจรไฟฟ้าที่ประกอบด้วย

วงจร RC แบบขานส่องชุดและแต่ละชุดต่อกันแบบอนุกรม ดังแสดงในภาพที่ 7 โดยชุดแรกแทนส่วนของเกรนที่เป็นสารกึ่งตัวนำและชุดที่สองแทนส่วนของชั้นฉนวนบริเวณขอบเขตระหว่างเกรน จากรผลการทดลอง(ที่อุณหภูมิห้อง) พบว่า สามารถบ่งชี้ได้ว่า CCTO เป็นวัสดุเซรามิกที่มีการตอบสนองทางไฟฟ้าส่องส่วนด้วยกัน คือ ส่วนของเกรนที่มีสมบัติเป็นสารกึ่งตัวนำ ( $\rho_g \sim 62 \Omega\text{cm}$  และ  $\epsilon_g < 250 \text{ pF/cm}^{-1}$ ) และส่วนของชั้นฉนวน(บริเวณขอบเขตระหว่างเกรน) ( $\rho_{gb} \sim 4.5 \text{ M}\Omega\text{cm}$  และ  $\epsilon_{gb} \sim 2.2 \text{ nF/cm}^{-1}$ ) จากข้อมูลของสภาพต้านทานไฟฟ้าสามารถคำนวณค่าสภาพนำไฟฟ้าของเกรน ( $\sigma_g$ ) และชั้นฉนวนระหว่างเกรน ( $\sigma_{gb}$ ) และสามารถคำนวณค่าพลังงานกระตุ้นการรีแลกเซชันได้จากการคำนวณพื้นที่ระหว่าง  $\log(\sigma(\text{Scm}^{-1}))$  กับ  $1000/T (\text{K})$  ซึ่งพบว่าค่าพลังงานกระตุ้นของเกรน (grain boundary)  $E_a(\sigma_g)$  และขอบเกรน (grain boundary)  $E_a(\sigma_{gb})$  มีค่าเท่ากับ 0.08 และ 0.60 อิเล็กตรอนโวลต์ (eV) ตามลำดับ ดังแสดงในภาพที่ 2-10 ค่าที่ต่ำมากของ  $E_a(\sigma_g)$  สอดคล้องกับค่าที่พบในสารกึ่งตัวนำไททาเนตเพอร์อฟส์ไกท์ (semiconducting titanate perovskites) เช่น  $\text{Li-BaTiO}_3$  และค่าความจุไฟฟ้าที่อุณหภูมิ  $-169^\circ\text{C}$  ของเกรน ( $C_g$ ) มีค่าประมาณ  $9 \text{ pF/cm}^2$  ( $\epsilon_g \sim 110$ ) ซึ่งเป็นค่าที่เทียบเท่ากับวัสดุไฟฟ้าที่ต่ำที่สุด เช่น  $\text{CaTiO}_3$ ,  $\text{CdCu}_3\text{Ti}_4\text{O}_{12}$  และ  $\text{Bi}_{2/3}\text{Cu}_3\text{Ti}_4\text{O}_{12}$



ภาพที่ 2-10 แผนภาพแสดงวงจรไฟฟ้าที่ใช้แทนสมบัติทางไฟฟ้าของเกรน ( $R_g, C_g$ ) และขอบเกรน ( $R_{gb}, C_{gb}$ ) ในวัสดุ CCTO

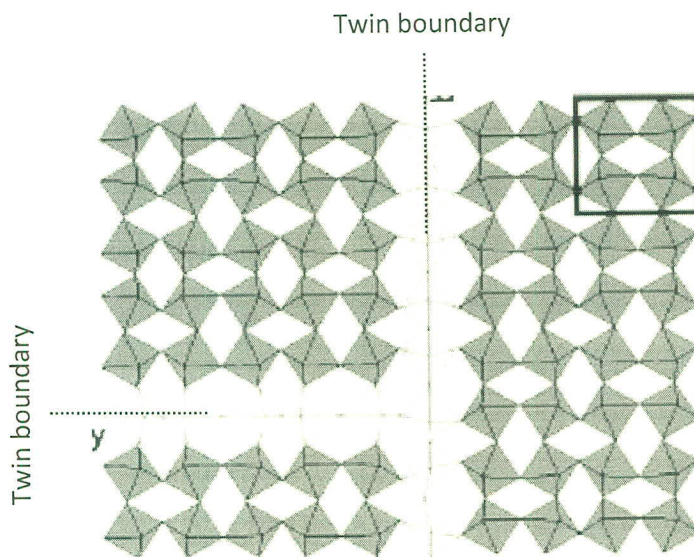


ภาพที่ 2-11 แสดงกราฟความสัมพันธ์ระหว่าง  $\log(\sigma(\text{S.cm}^{-1}))$  กับ  $1000/T (\text{K}^{-1})$  [20]

หลังจากนั้นเมื่อนำวัสดุตัวอย่างไปเผาให้ความร้อนอีครั้งที่อุณหภูมิ  $1000^{\circ}\text{C}$  ภายใต้บรรยากาศ  $\text{N}_2$  พบร่วมสภาพต้านทานไฟฟ้าของเกรนไม่เปลี่ยนแปลง แต่สภาพต้านทานไฟฟ้าของชั้นฉนวนระหว่างเกรนมีค่าลดลงจากเดิมมาก โดยมีค่าประมาณ  $7 \text{ k}\Omega.\text{cm}$  (ที่อุณหภูมิห้อง) สมบัติทางไฟฟ้าที่ต่างกันระหว่างวัสดุตัวอย่างที่เผาในอากาศและบรรยากาศ  $\text{N}_2$  มีผลเนื่องมาจากการปริมาณที่ต่างกันของออกซิเจนในโครงสร้างของเซรามิกที่สังเคราะห์ได้ การจำกัดการเกิดปฏิกิริยาออกซิเดชันในระหว่างชั้นต่อนการลดอุณหภูมิ มีผลทำให้ความหนาของชั้นฉนวนระหว่างเกรนลดลง [19] ผลดังกล่าวจะเป็นส่วนที่สำคัญอย่างยิ่งในการเพิ่มค่าคงที่ไดอิเล็กตริกของ CCTO เนื่องจากมีโครงสร้างทางจุลภาคแบบ IBLC ดังนั้น CCTO จึงเป็นตัวอย่างของไทดานेटเพอร์อฟส์ไกเตอร์ที่สามารถสังเคราะห์ให้เกิดโครงสร้างแบบ IBLC ได้โดยชั้นตอนเดียว (one-step internal barrier layer capacitor)

จากการศึกษาสาเหตุของการเกิดชั้นฉนวนระหว่างเกรน พบร่วมความเป็นไปได้ในการเกิด IBLC มีสองกรณี คือ อย่างแรกเกิดจากการสูญเสียของออกซิเจนและอีกอย่างเกิดจากการทำปฏิกิริยากับออกซิเจนทำให้เกิดเป็นชั้นฉนวนเฟสที่สอง [23] จากการศึกษาสมบัติทางไดอิเล็กตริกของ CCTO ผลลัพธ์เดียวพบว่า ค่าคงที่ไดอิเล็กตริกมีค่าสูงถึง  $8 \times 10^4$  ที่ อุณหภูมิห้องและความถี่ต่ำกว่า  $20 \text{ kHz}$  [15] จากจุดดังกล่าวนี้เองส่งผลให้เกิดคำถามที่ตามมาคือ CCTO มีค่าคงที่ไดอิเล็กตริกที่สูงเนื่องมาจาก IBLC จริงหรือไม่ และถ้าจริงเกิดขึ้นได้อย่างไร จากการศึกษาโครงสร้างผลลัพธ์เดียวของ CCTO ด้วยเทคนิคการเลี้ยวเบนของนิวตรอนและรังสีเอกซ์ (neutron and X-ray diffraction) พบร่วมโครงสร้างผลลัพธ์ถูกแยกออกเป็นคู่ๆ โดยภายในผลลัพธ์ประกอบไปด้วยชั้นของขอบเขตคู่ (twin boundary layer) ที่อยู่ระหว่างคู่ของหน่วยเซลล์ ดังแสดงในภาพที่ 2-11 การเกิดองค์ประกอบของชั้นดังกล่าวจะชี้ให้เห็นถึงปริมาณของ Cu เนื่องจากสมบัติทางไดอิเล็กตริกของ CCTO ชี้ว่ามีปริมาณของ

Cu/Ca ในโครงสร้างเป็นอย่างมาก [1] ดังนั้นมีความเป็นไปได้ที่ชั้นที่อยู่ระหว่างคู่ของหน่วยเซลล์มีผลทำให้เกิดโครงสร้างคล้าย IBLC ในผลึกของ CCTO ที่เป็นสาเหตุทำให้ผลึกเดียวของ CCTO มีค่าคงที่ไดอิเล็กทริกที่สูงมาก



ภาพที่ 2-12 แสดงโครงสร้างผลึกเดียวของ CCTO ที่ประกอบไปด้วยชั้นของขอบเขตคู่ภายในผลึกเดียว [21]

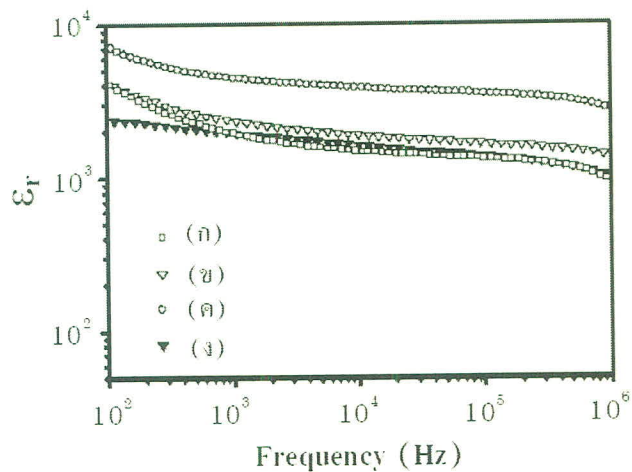
ในการศึกษาเพื่อหาสาเหตุของการมีค่าคงที่ไดอิเล็กทริกที่สูงมากของ CCTO บนสมมติฐานของอิทธิพลภายนอก นอกเหนือจากการศึกษาในเรื่องของการมีโครงสร้างทางจุลภาคแบบ IBLC แล้ว ได้มีการศึกษาในแง่มุมอื่นๆ เพื่อยืนยันการมีค่าคงที่ไดอิเล็กทริกที่สูงมากของ CCTO ว่ามีสาเหตุเนื่องจากอิทธิพลภายนอก ไม่ใช่เกิดจากธรรมชาติในตัวเอง และจากการศึกษาของกลุ่มวิจัยต่างๆ พบว่าค่าคงที่ไดอิเล็กทริกของ CCTO ยังขึ้นกับชนิดและวิธีการเตรียมข้าวอิเล็กโทรดรรมทั้งความหนาของวัสดุตัวอย่าง ทำให้ได้ข้อสรุปว่าการมีค่าคงที่ไดอิเล็กทริกที่สูงของ CCTO เกิดจากการโพลาไรเซชันที่ผิว (interfacial polarization) ระหว่างอิเล็กโทรดกับวัสดุตัวอย่าง หรือที่ผิวของขอบเขตระหว่างเกรน โดยได้อธิบายในเทอมของ Maxwell-Wager relaxation [13, 14, 21] แล้วบ่งพ่าว่ามีปัจจัยอื่นๆ ที่มีผลต่อค่าคงที่ไดอิเล็กทริกของ CCTO เช่น ขนาดของเกรนและความหนาของชั้นฉนวนที่กันระหว่างเกรน [22] ผลของกระบวนการเตรียมวัสดุของ CCTO [24]

## 2.4 ผลของชนิดและวิธีการเตรียมอิเล็กโทรดและความหนาของวัสดุตัวอย่างต่อสมบัติทางไดอิเล็กตริกของ CCTO

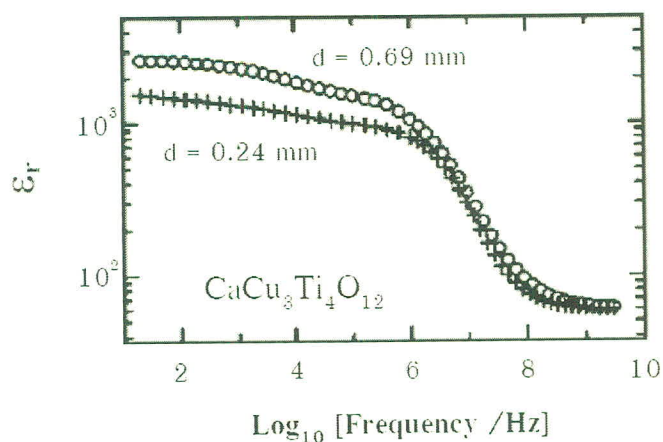
จากการศึกษารอยต่อระหว่างอิเล็กโทรดกับผิวน้ำของวัสดุเซรามิก CCTO พบร้าค่าคงที่ไดอิเล็กตริกของ CCTO ขึ้นกับชนิดและวิธีการเตรียมข้าวอิเล็กโทรด โดยวัสดุเซรามิก CCTO ที่ผ่านการให้ความร้อนที่อุณหภูมิ  $750^{\circ}\text{C}$  เป็นเวลา 8 ชั่วโมง ภายใต้บรรยากาศ  $\text{N}_2$  และอิเล็กโทรดทำจากโลหะแพททินัม (Pt) จะให้ค่าคงที่ไดอิเล็กตริกมากที่สุด เมื่อเทียบกับ CCTO ที่มีวิธีการเตรียมอิเล็กโทรดแบบอื่นๆ ดังแสดงในภาพที่ 2-13 ผลการทดลองดังกล่าวเนี้ยเป็นส่วนหนึ่งที่สนับสนุนว่าการมีค่าคงที่ไดอิเล็กตริกที่สูงมากของ CCTO ที่เป็นสาเหตุเนื่องจากปัจจัยภายนอก และจากการทดลองดังกล่าวเนี้ยสามารถอธิบายปรากฏการณ์ที่เกิดขึ้นได้โดยสมมติฐานการเกิดกำแพงศักย์แบบช็อตคีร์ (Schottky barriers) ระหว่างอิเล็กโทรดและผิวน้ำของ CCTO [21] ในเบื้องต้นรอยต่อระหว่างผิวน้ำของ CCTO กับอิเล็กโทรดไม่สามารถเกิดเป็นรอยต่อแบบช็อตคีร์ได้ เนื่องจากสภาพต้านทานไฟฟ้าที่ผิวน้ำของ CCTO มีค่าสูงมาก ( $1.2 \times 10^8 \Omega\text{.cm}$ ) แต่ภายหลังจากการให้ความร้อนที่อุณหภูมิ  $750^{\circ}\text{C}$  เป็นเวลา 8 ชั่วโมง ภายใต้บรรยากาศ  $\text{N}_2$  พบร้าสภาพต้านทานไฟฟ้าของผิวน้ำมีค่าลดลง โดยมีค่าประมาณ  $3.1 \times 10^7 \Omega\text{.cm}$  ซึ่งผลของการลดลงของสภาพต้านทานไฟฟ้า ส่งผลให้รอยต่อระหว่างผิวน้ำของ CCTO กับอิเล็กโทรดเกิดเป็นรอยต่อแบบช็อตคีร์ได้ เมื่อโลหะที่ใช้ประดิษฐ์อิเล็กโทรดมีฟังก์ชันงาน (work function) ที่เหมาะสม โดยฟังก์ชันงานของเงินและแพลตทินัมมีค่า 4.21 และ 5.36 eV ตามลำดับ ซึ่งในกรณีดังกล่าวเนี้ยรอยต่อระหว่างแพททินัมกับผิวน้ำของ CCTO ที่มีสภาพต้านทานไฟฟ้าต่ำ มีโอกาสเกิดกำแพงศักย์แบบช็อตคีร์ได้มากกว่ารอยต่อระหว่างเงินกับผิวน้ำของ CCTO ส่งผลให้ค่าคงที่ไดอิเล็กตริกของ CCTO ที่มีแพททินัมเป็นอิเล็กโทรดมีค่ามากกว่าเมื่อเทียบกับ CCTO ที่มีเงินเป็นอิเล็กโทรด ในกรณี CCTO ที่ผ่านการให้ความร้อนที่อุณหภูมิ  $750^{\circ}\text{C}$  เป็นเวลา 16 ชั่วโมง ภายใต้บรรยากาศ  $\text{O}_2$  พบร้าสภาพต้านทานไฟฟ้าของพื้นผิว CCTO มีค่าสูงมาก ( $4.3 \times 10^9 \Omega\text{.cm}$ ) ส่งผลให้ค่าคงที่ไดอิเล็กตริกของ CCTO ที่มีวิธีการเตรียมข้าวอิเล็กโทรดด้วยวิธีนี้มีค่าต่ำกว่าการเตรียมอิเล็กโทรดแบบอื่นๆ เนื่องจากรอยต่อระหว่างผิวน้ำของ CCTO กับอิเล็กโทรดมีโอกาสเกิดรอยต่อแบบช็อตคีร์ได้น้อยที่สุด

นอกจากนี้แล้วกลุ่มของ Lunkenheimer (2004) [21] ยังพบว่าความหนาของวัสดุตัวอย่างในขณะทดสอบสมบัติทางไดอิเล็กตริกได้มีผลต่อค่าคงที่ไดอิเล็กตริกของวัสดุ CCTO ดังแสดงในภาพที่ 2-13 โดยที่ความถี่ต่ำค่าคงที่ไดอิเล็กตริกของวัสดุตัวอย่างเดียวกันเมื่อมีความหนามากกว่าจะมีค่าคงที่ไดอิเล็กตริกสูงกว่าเมื่อวัสดุตัวอย่างถูกขัดให้บางลง จากผลการทดลองดังกล่าวเนี้ยสามารถยืนยันได้ว่าค่าคงที่ไดอิเล็กตริกที่สูงมากของ CCTO ไม่ได้มีสาเหตุเนื่องจากอิทธิพลในตัวเอง แต่เป็นผลเนื่องจาก

อิทธิพลจากภายนอก คือการมีโครงสร้างแบบ IBLC และการโพลาไรเซชันที่ผิวน้ำของวัสดุตัวอย่าง กับอิเล็กโทรด รวมทั้งองค์ประกอบทางเคมีที่ผิวน้ำของวัสดุตัวอย่าง



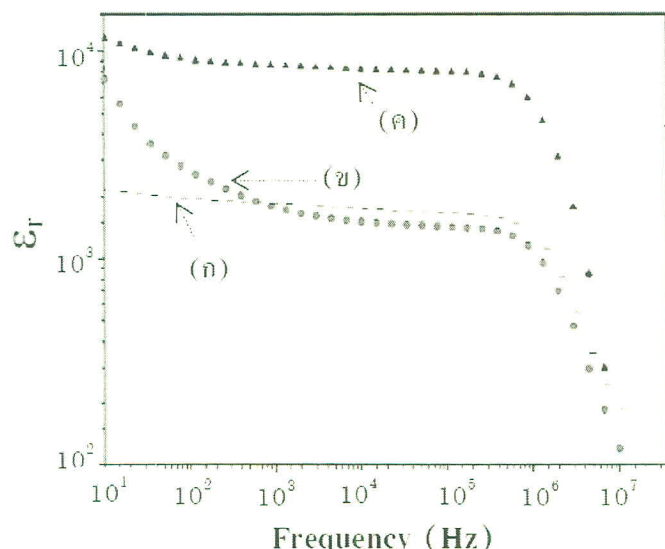
ภาพที่ 2-13 การเปลี่ยนแปลงกับความถี่ของค่าคงที่ไดอิเล็กตริกของ CCTO ที่อุณหภูมิห้อง โดย อิเล็กโทรด ทำจากโลหะ และวิธีการเตรียมที่ต่างกัน (ก) อิเล็กโทรดทำจากการเงิน (silver paint) (ข) วัสดุเซรามิก CCTO ที่ผ่านการให้ความร้อนที่อุณหภูมิ  $750^\circ\text{C}$  เป็นเวลา 8 ชั่วโมง ภายใต้บรรยากาศ  $\text{N}_2$  และอิเล็กโทรดทำจากการเงิน (ค) วัสดุเซรามิก CCTO ที่ผ่านการให้ความร้อนที่อุณหภูมิ  $750^\circ\text{C}$  เป็นเวลา 8 ชั่วโมง ภายใต้บรรยากาศ  $\text{N}_2$  และอิเล็กโทรดทำจากโลหะแพททินัม (ง) วัสดุเซรามิก CCTO ที่ผ่านการให้ความร้อนที่อุณหภูมิ  $750^\circ\text{C}$  เป็นเวลา 16 ชั่วโมง ภายใต้ บรรยากาศ  $\text{O}_2$  และ อิเล็กโทรดทำจากโลหะแพททินัม [14]



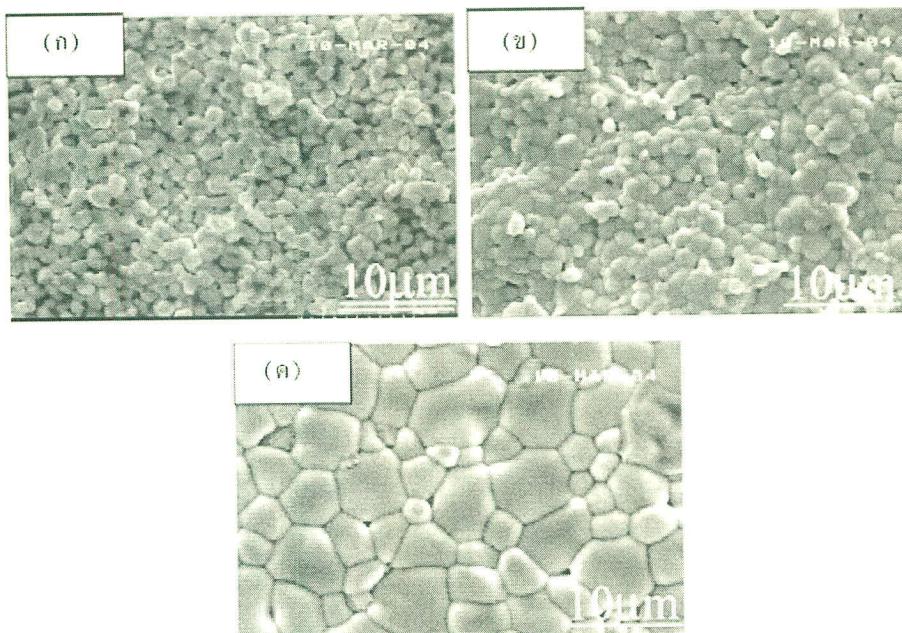
ภาพที่ 2-14 แสดงการเปลี่ยนแปลงค่าคงที่ไดอิเล็กตริกของเทียบกับความถี่ที่ความหนาแตกต่างกัน ของวัสดุเซรามิก CCTO [21]

## 2.5 ผลของขนาดเกรนต่อสมบัติทางไดอิเล็กทริกในวัสดุ CCTO

การศึกษาสาเหตุของการมีค่าคงที่ไดอิเล็กทริกที่สูงมากของ CCTO โดยอาศัยสมมติฐานของการเกิดโครงสร้างทางจุลภาคแบบ IBLC โดยมีแนวความคิดว่า ภายในโครงสร้างประกอบด้วย เกรนที่มีสมบัติการนำไฟฟ้าที่ดีและมีขั้นตอนวัสดุอยู่ระหว่างเกรนทำหน้าที่ป้องกันการนำไฟฟ้าระหว่างเกรน ส่งผลให้ค่าคงที่ไดอิเล็กทริกของ CCTO มีค่าที่สูงมาก จากแนวความคิดดังกล่าวนี้ ขนาดของเกรนและความหนาของชั้นฉนวนจึงเป็นปัจจัยที่มีผลต่อค่าไดอิเล็กทริก และจากการศึกษาพบว่าขนาดของเกรนมีผลต่อค่าคงที่ไดอิเล็กทริกของ CCTO ดังแสดงในภาพที่ 2-14 จากการทดลองพบว่าค่าคงที่ไดอิเล็กทริกของ CCTO มีค่าเพิ่มมากขึ้นตามการเพิ่มขนาดของเกรน ผลการทดลองดังกล่าวได้แสดงคล้องกับงานวิจัยโดยกลุ่มของ Jha (2003) [25] ซึ่งพบว่าค่าคงที่ไดอิเล็กทริกของ CCTO ที่มีขนาดเกรน  $1 \mu\text{m}$  มีค่าประมาณ 3,000 และสอดคล้องกับงานวิจัยของกลุ่ม Sinclair (2002) [20] ซึ่งพบว่าค่าคงที่ไดอิเล็กทริกของ CCTO ที่มีขนาดเกรน  $5 \mu\text{m}$  มีค่าประมาณ 9,000 โดยผลการทดลองทั้งหมดที่กล่าวมานี้สามารถใช้เป็นข้อสนับสนุนตามแบบจำลองของ IBLC ในการอธิบายสาเหตุของการมีค่าคงที่ไดอิเล็กทริกที่สูงมากของ CCTO



ภาพที่ 2-15 แสดงค่าคงที่ไดอิเล็กทริกของวัสดุเซรามิก CCTO ที่มีขนาดเกรนแตกต่างกัน (ก) ขนาดเกรน  $1.3 \pm 0.4 \mu\text{m}$  (ข) ขนาดเกรน  $1.2 \pm 0.4 \mu\text{m}$  (ค) ขนาดเกรน  $4.1 \pm 1.8 \mu\text{m}$  [26]



ภาพที่ 2-16 แสดงภาพถ่ายพื้นผิวของวัสดุเซรามิก CCTO ที่มีขนาดเกรน  $1.2 \pm 0.4 \mu\text{m}$  (ก) ขนาดเกรน  $1.3 \pm 0.4 \mu\text{m}$  (ข) และ ขนาดเกรน  $4.1 \pm 1.8 \mu\text{m}$  (ค) [26]

## 2.6 ผลของการบวนการเตรียมต่อสมบัติทางไดอิเล็กตริกของ CCTO

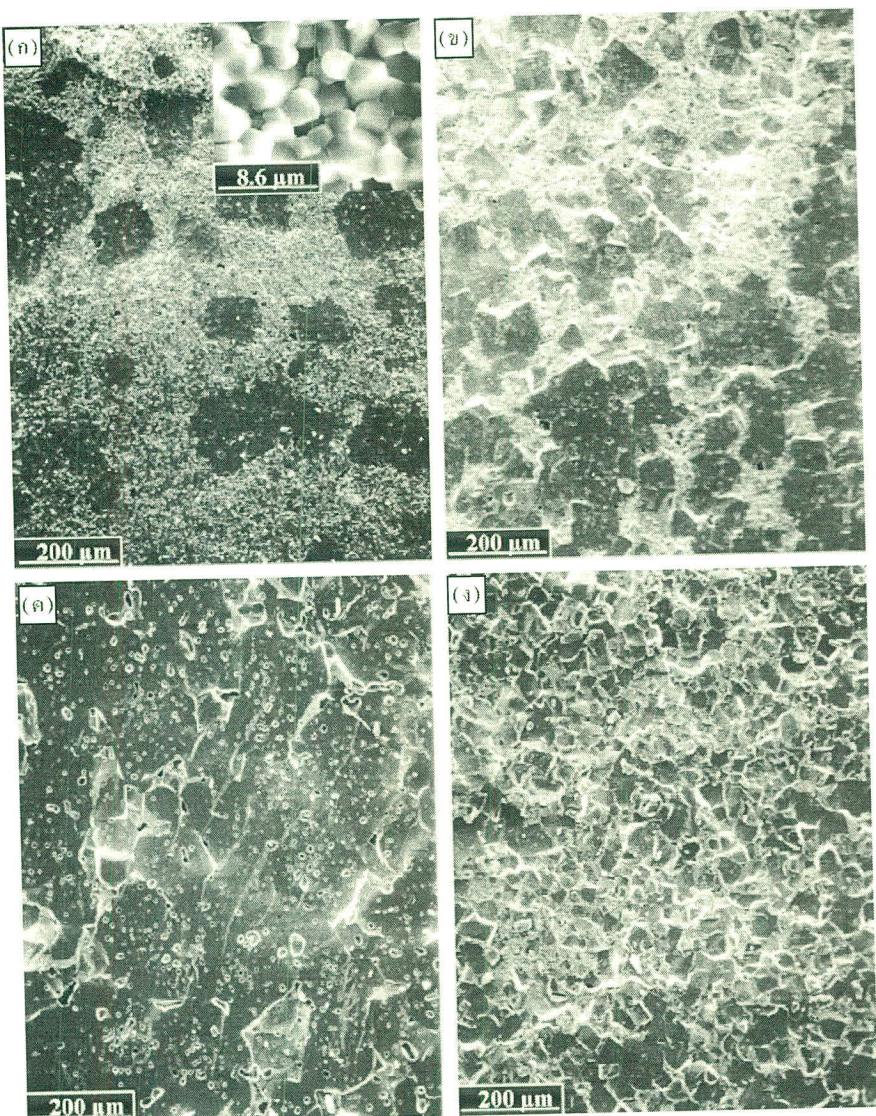
กระบวนการเตรียม (processing) ถือว่าเป็นพื้นฐานและเป็นขั้นตอนที่มีความสำคัญเป็นอย่างยิ่ง ในการศึกษาวิทยาศาสตร์สาขาวิชาวัสดุศาสตร์ และเป็นปัจจัยที่มีผลต่อสมบัติของวัสดุในด้านต่างๆ เมื่อมีการตรวจวัดและวิเคราะห์สมบัติของวัสดุเซรามิกก็จะมีการเชื่อมโยงและอ้างอิงถึงกระบวนการเตรียมเสมอ ดังนั้นการศึกษาสมบัติทางไดอิเล็กตริกของวัสดุเซรามิก CCTO ถือว่าผลของกระบวนการเตรียมเป็นอีกหนึ่งปัจจัยที่มีความสำคัญและมีผลต่อสมบัติทางไดอิเล็กตริก จากรายงานการศึกษาตลอดหลายปีที่ผ่านมา พบว่าค่าคงที่ไดอิเล็กตริกของ CCTO ทั้งผลึกเดี่ยวและหลาຍผลึกรวมทั้งฟิล์มบาง มีค่าอยู่ในช่วง  $478 - 300,000$  [1, 15, 18, 20] จากรายงานการวิจัยที่ผ่านมาการเตรียมวัสดุ CCTO ส่วนใหญ่เตรียมจากวิธีปฏิกิริยาของแข็ง (Solid state Reaction) โดยใช้สารตั้งต้นที่ใช้คือ  $\text{CaCO}_3$  (99.98%),  $\text{CuO}$  (99.5%) และ  $\text{TiO}_2$  (99.5%)

### 2.6.1 การเตรียมวัสดุ CCTO ด้วยวิธีปฏิกิริยาแบบของแข็ง (Solid state Reaction)

จากรายงานการวิจัยที่ผ่านมาการเตรียมวัสดุ CCTO ส่วนใหญ่เตรียมจากวิธีปฏิกิริยาของแข็ง (Solid state Reaction) โดยใช้สารตั้งต้นที่ใช้คือ  $\text{CaCO}_3$  (99.98%),  $\text{CuO}$  (99.5%) และ  $\text{TiO}_2$  (99.5%) ตัวอย่างเช่นกลุ่มของ Pan (2005) [24] ได้เตรียมวัสดุเซรามิก CCTO โดยวิธีการทำปฏิกิริยาสถานะของแข็ง และได้ศึกษาผลของการเตรียมวัสดุผงและวัสดุเซรามิกต่อสมบัติทางไดอิเล็กตริกของ CCTO โดยได้ศึกษาผลของ เทคนิคต่างๆ ของการผสมสารตั้งต้น

อุณหภูมิในการเผาเคลือบไซน์ อุณหภูมิในการเผาเน็ก เวลาของการเผาเน็ก และผลของการให้ความร้อนแก้วัสดุตัวอย่างอีกครั้งในบรรยากาศอาร์กอน (argon annealing) รวมทั้งศึกษาผลของขนาดเกรนและความหนาแน่นต่อค่าคงที่ไดอิเล็กตริก โดยวัสดุผงที่ผ่านการเคลือบไซน์จะนำไปปิดให้ละเอียดอีกครั้ง (ก่อนการขึ้นรูปและการสังเคราะห์วัสดุเซรามิก) เพื่อให้ได้ขนาดอนุภาคที่ละเอียดสำหรับปรับปรุงการเกิดปฏิกิริยา

วัสดุผงทั้งสามชนิดที่เตรียมได้ถูกนำไปขึ้นรูปโดยการอัดด้วยความเค้นแบบแกนเดียวเป็นแผ่นกลมเส้นผ่านศูนย์กลาง 13 มิลลิเมตร และมีความหนา 1.5 มิลลิเมตร วัสดุที่ผ่านการขึ้นรูปถูกนำไปเผาเน็ก ในช่วงอุณหภูมิ  $990 - 1,100^{\circ}\text{C}$  โดยใช้เวลา 3 – 16 ชั่วโมง โดยเลือกวัสดุเซรามิกที่นำไปเผาเน็กที่อุณหภูมิ  $1100^{\circ}\text{C}$  เป็นเวลา 3 ชั่วโมงเป็นมาตรฐานสำหรับเปรียบเทียบผลการทดลองจากผลการทดลอง พบร้าสมบัติทางไดอิเล็กตริกของวัสดุเซรามิก CCTO ขึ้นกับกระบวนการเตรียมเป็นอย่างมาก โดยพิจารณาว่าปัจจัยหลักที่มีผลต่อพฤติกรรมทางไดอิเล็กตริกคือการเกิดความเสื่อมอย่างมาก โดยพิจารณาว่าปัจจัยหลักที่มีผลต่อการนำไฟฟ้าภายในเกรนเนื่องจากการเกิดความเสื่อมของภายในเกรน ส่งผลให้ค่าคงที่ไดอิเล็กตริกมีค่าเพิ่มมากขึ้นด้วย เมื่อพิจารณาความสัมพันธ์ระหว่างขนาดของเกรนและความหนาแน่นกับค่าคงที่ไดอิเล็กตริก พบร้าขนาดของเกรนและความหนาแน่นมีผลน้อยมากเมื่อเทียบกับการเปลี่ยนแปลงของค่าคงที่ไดอิเล็กตริก [24]



ภาพที่ 2-17 ภาพถ่ายพื้นผิวของวัสดุเซรามิก CCTO ที่ผ่านการเผาเผนกที่  $1,100^{\circ}\text{C}$

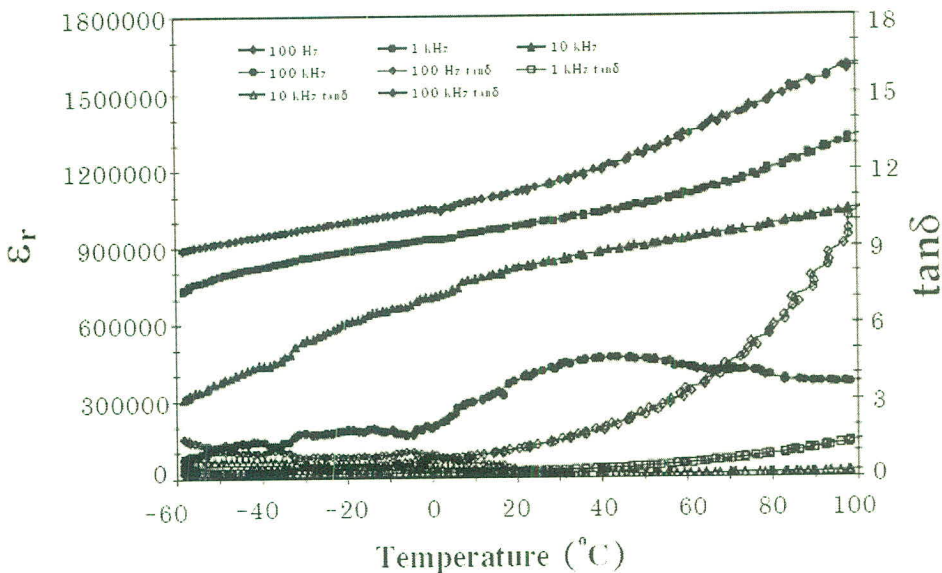
(ก) วัสดุเซรามิก MP1-3 (ภาพแทรกแสดงลักษณะของเกรนขนาดเล็ก)

(ข) วัสดุเซรามิก AM1-3

(ค) วัสดุเซรามิก AM1-16

(ง) วัสดุเซรามิก AM2-3 [24]

ภายหลังจากการนำวัสดุตัวอย่างไปเผาให้ความร้อนอีกครั้งที่อุณหภูมิ  $1,000^{\circ}\text{C}$  ในบรรยากาศอิเล็กทรอนิกส์เป็นเวลา 6 ชั่วโมง และนำมาทดสอบปั๊ติทางไดอิเล็กตริกพบว่า ค่าคงที่ไดอิเล็กตริกของ CCTO มีค่าเพิ่มสูงถึง  $10^6$  ที่อุณหภูมิห้อง ดังแสดงในภาพที่ 2-17



ภาพที่ 2-18 การเปลี่ยนแปลงกับอุณหภูมิของค่าคงที่ไดอิเล็กตริกและค่าแทนเจนต์ของการสูญเสียทางไดอิเล็กตริก ของ CCTO ภายหลังการให้ความร้อนที่อุณหภูมิ  $1,000^{\circ}\text{C}$  ภายใต้บรรยากาศอิ่มไนโตรเจนเป็นเวลา 6 ชั่วโมง [24]

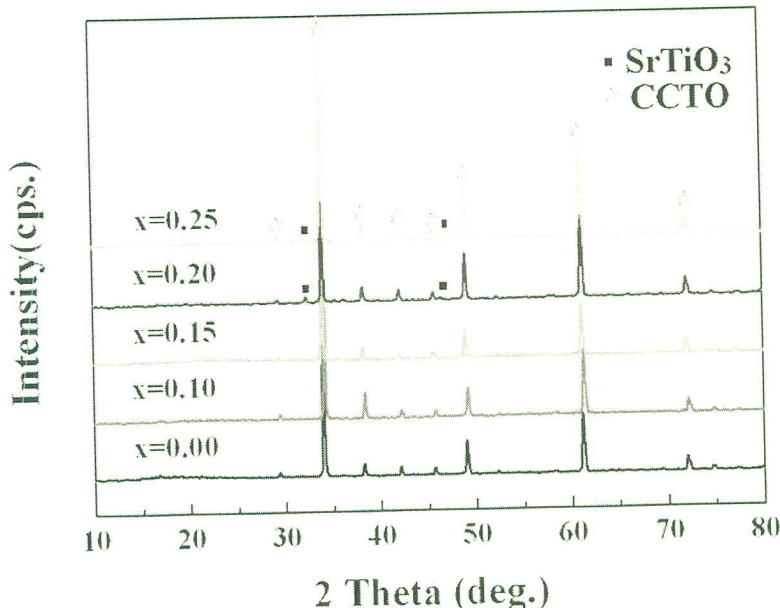
ภายหลังจากการนำวัสดุตัวอย่างไปเผาให้ความร้อนอิกรั้ง เมื่อนำมาวิเคราะห์โครงสร้างของ CCTO ด้วยเทคนิค XRD พบร้าไม่มีการเปลี่ยนโครงสร้างหรือไม่พบการเกิดขึ้นของเฟสที่สองและไม่พบการเปลี่ยนแปลงมวลและความหนาแน่น อีกทั้งลักษณะสัณฐานของวัสดุเซรามิกยังคงมีลักษณะเช่นเดิม โดยการเพิ่มขึ้นอย่างมากของค่าคงที่ไดอิเล็กตริกอาจมีสาเหตุเนื่องจากการเพิ่มขึ้นของค่าสภาพนำไฟฟ้าภายในเกรนซึ่งส่งผลโดยตรงต่อการเพิ่มขึ้นของค่าคงที่ไดอิเล็กตริก โดยการเพิ่มขึ้นของค่าคงที่ไดอิเล็กตริกในลักษณะดังกล่าวนี้ทำให้การสูญเสียทางไดอิเล็กตริกของ CCTO มีค่าเพิ่มมากขึ้นตามด้วย [24]

## 2.7 ผลของการเจือไอออนต์อสมบัติดิเล็กติกในวัสดุ CCTO

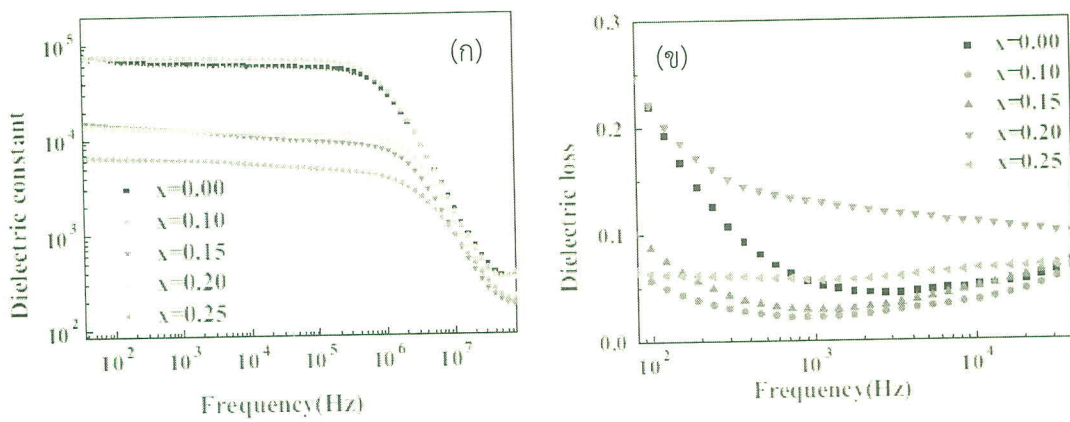
เป็นที่ทราบกันดีว่าวัสดุใจแணไดอิเล็กตริก CCTO เป็นวัสดุที่มีค่าไดอิเล็กตริกสูง แต่อย่างไรก็ตามในรายงานการวิจัยของนักวิจัยหลายกลุ่มที่ผ่านมาจะเห็นว่าค่า  $\tan\delta$  ที่มีค่ามากตามไปด้วย ( $\tan\delta > 0.05$ ) ที่ความถี่  $1 \text{ kHz}$  ซึ่งการมีค่าไดอิเล็กตริกที่สูงดังกล่าวเป็นปัจจัยที่ยังไม่สามารถนำวัสดุ CCTO ไปประยุกต์ใช้เป็นอุปกรณ์ในโครงอิเล็กทรอนิกส์ โดยทั่วไปการปรับปรุง (improve) สมบัติไดอิเล็กตริก จะทำโดยการเจือไอออนหมู่ธาตุแรเออิร์ท เช่น  $\text{La}^{3+}$  (Rai et al., 2009),  $\text{Y}^{3+}$  (Chunhong., et al 2010, Kashyap., 2012),  $\text{Eu}^{3+}$  (Li., et al 2009; Kashyap., 2012) ซึ่งจากรายงานการวิจัยผลการเจือไอออนแรเออิร์ท จะมีอิทธิพลมากต่อสมบัติไดอิเล็กตริก และ  $\tan\delta$  ในวัสดุ

CCTO นอกจากนี้ยังมีผลต่อโครงสร้างทางจุลภาคของผงวัสดุ เช่นการเปลี่ยนแปลงโครงสร้างทางจุลภาค สมบัติทางไฟฟ้า โดยที่ว่าไปโครงสร้างแบบพorphosไกส์จะมีสูตรทางเคมี เป็น  $ACu_3Ti_4O_{12}$  ซึ่งภายในประกอบด้วยรูปทรงแปดเหลี่ยมของ  $TiO_6$  โดยมีลักษณะเอียงก่อให้เกิดรูปสี่เหลี่ยมจัตุรัส ซึ่งรักษาในตรงสมมาตร จะเป็นพื้นที่ของ  $Ca^{2+}$  ซึ่งการแทนที่ในตำแหน่งของไอออนบางต้องพิจารณาที่รักษาไม่ออนไลน์เป็นสิ่งสำคัญ จากรายงานการวิจัยที่ผ่านมา มีการศึกษาสารเจือ  $Ln_{2/3}Cu_3Ti_4O_{12}$  โดยที่  $Ln = Eu^{3+}$  (7.390 Å),  $Gd^{3+}$  (7.391 Å),  $Sm^{3+}$  (7.394 Å) ซึ่งมีค่าไกลส์เคียงกับแลตทิคพารามิเตอร์ของวัสดุ CCTO (7.391 Å) ดังนั้นสามารถบ่งชี้ได้ว่า ไอออนแรเวิร์ฟสามารถเข้าไปแทนที่  $Ca^{2+}$  ได้อย่างสมบูรณ์ [1]

เมื่อไม่นานมานี้ กลุ่มของ Zupei Yang (2011) ได้พบว่าการเจือ  $Sr^{2+}$  ( $r_{Sr^{2+}}=1.44$  Å) เข้าไปใน  $Ca^{2+}$  ( $r_{Ca^{2+}}=1.34$  Å),  $Ca_xSr_{(1-x)}Cu_3Ti_4O_{12}$  ( $x=0.00, 0.10, 0.15, 0.20$  และ  $0.25$ ) โดยวิธีปฏิกิริยาแบบแข็ง (solid state reaction) โดยจากการศึกษาโครงสร้างด้วย XRD พบว่าที่ปริมาณสารเจือ  $0.10$  และ  $0.15$  ไม่มีเฟสปลอมปนเกิดขึ้น แต่เมื่อปริมาณสารเจือเพิ่มเป็น  $0.20$  และ  $0.25$  เกิดองค์ประกอบของ  $SrTiO_3$  เกิดขึ้น ดังแสดงในภาพที่ 2-19

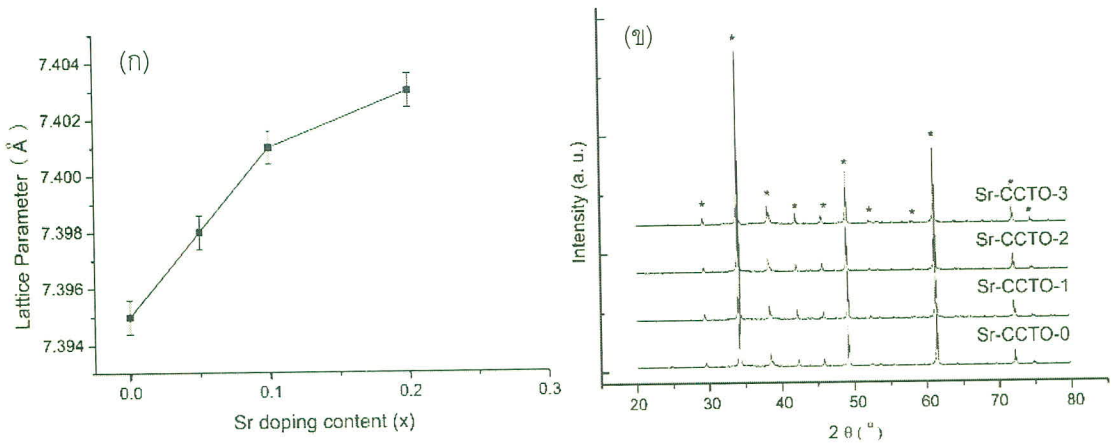


ภาพที่ 2-19 แสดงพีคหลักของ CCTO ที่เจือด้วย  $Sr$  ที่ตำแหน่ง  $Ca$  ที่ปริมาณสารเจือที่แตกต่างกัน



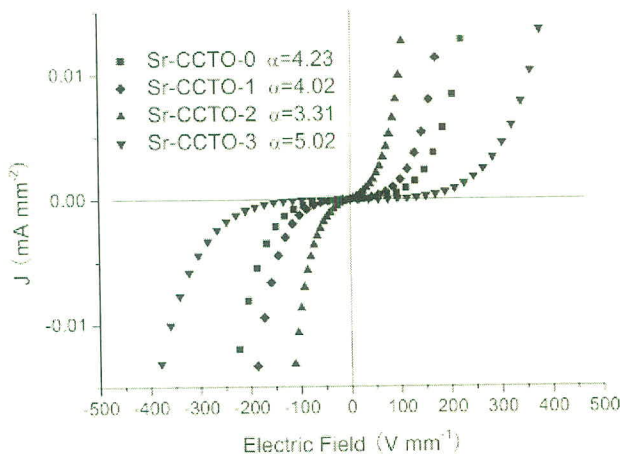
ภาพที่ 2-20 แสดงค่าคงที่ไดอิเล็กตริก (g) และค่า  $\tan\delta$  (h) เทียบกับความถี่ในวัสดุ  $\text{Ca}_x\text{Sr}_{(1-x)}\text{Cu}_3\text{Ti}_4\text{O}_{12}$  ( $x=0.00, 0.10, 0.15, 0.20$  และ  $0.25$ )

จากผลของสารเจือต่อค่าคงที่ไดอิเล็กตริกและ ค่า  $\tan\delta$  พบร่วมค่าคงที่ไดอิเล็กตริกมีค่ามาก สุดที่ และค่า  $\tan\delta$  มีค่าต่ำที่สุดเมื่อ  $x=0.10$  ซึ่งที่ ความถี่  $1\text{kHz}$  ค่า  $\tan\delta$  มีค่าต่ำกว่า  $0.05$  ซึ่ง ค่าความต้านทาน ของขอบเกรน (Grain boundary resistance) และเกรน (Grain resistance) มีค่าประมาณ  $1.31\times 10^5 \Omega$  และ  $1.21 \Omega$  งานวิจัยนี้มีความเป็นไปได้ที่จะสามารถนำไปประยุกต์ใช้งานด้านแม่คร้อเล็กทรอนิกส์ อย่างไรก็ตามเมื่อไม่นานมานี้ยังมีนักวิจัยกลุ่ม Hao Xue (2009) ได้ศึกษาสมบัติความไม่เป็นเส้น (non linear properties) ระหว่างกระแสและความต่างศักย์ ในวัสดุ  $\text{Ca}_x\text{Sr}_{(1-x)}\text{Cu}_3\text{Ti}_4\text{O}_{12}$  โดยที่ ( $x=0.05, 0.10$  และ  $0.20$ ) โดยผ่านนีกัวสดุที่เตรียมได้ที่อุณหภูมิ  $1080^\circ\text{C}$  ด้วยเวลา 3 ชั่วโมง ผลการทดลองพบว่าเมื่อเจือปริมาณ  $\text{Sr}^{2+}$  เพิ่มขึ้น ค่าแลตทิซพารามิเตอร์ เพิ่มขึ้นดังแสดงในภาพที่ 2-21 (g) โดยที่โครงสร้างของพีคหลักเมื่อศึกษาด้วย XRD ไม่ปรากฏเพส ปลอมปน (impurity) ดังแสดงในภาพที่ 2-21 (h) บ่งบอกได้ว่า  $\text{Sr}^{2+}$  ( $r_{\text{Sr}^{2+}}=1.44 \text{ \AA}$ ) สามารถเข้าไปแทนใน  $\text{Ca}^{2+}$  ( $r_{\text{Ca}^{2+}}=1.34 \text{ \AA}$ ) ได้โดยไม่มีการเปลี่ยนแปลงของเฟสหลัก



ภาพที่ 2-21 แสดงการเพิ่มขึ้นของค่าคงที่เลขทิช เมื่อปริมาณสารเจือ x เพิ่มขึ้น (ก) และ (ข) แสดงพีคหลักของวัสดุ  $\text{Ca}_x\text{Sr}_{(1-x)}\text{Cu}_3\text{Ti}_4\text{O}_{12}$  ( $x=0.00, 0.05, 0.10$  และ  $0.20$ ) เมื่อเผาผนังที่  $1080^\circ\text{C}$  ด้วยเวลา 3 ชั่วโมงในอากาศ

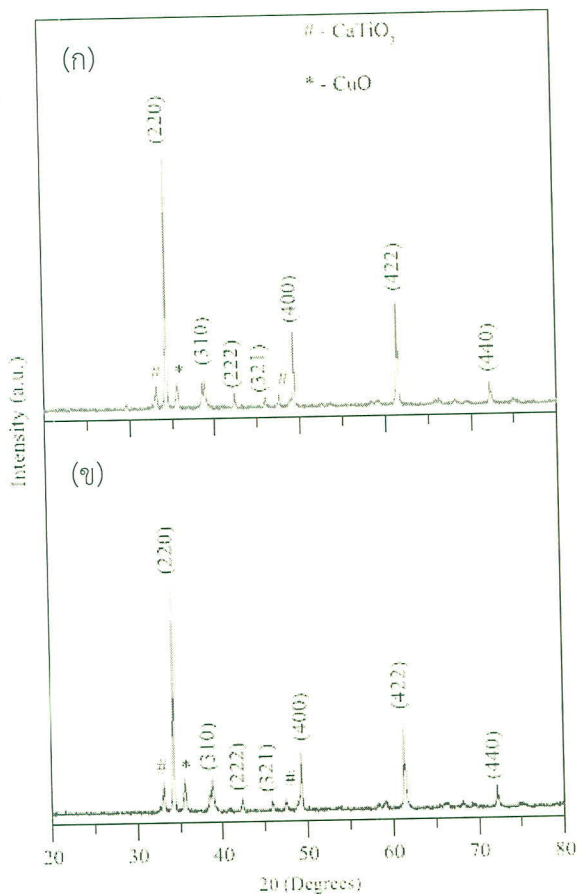
และเมื่อศึกษาผลการความไม่เป็นเชิงเส้น (non linear properties) ระหว่างกระแสและความต่างศักย์พบร่วมค่าสัมประสิทธิ์ความเป็นเชิงเส้น (non linear coefficient,  $\alpha$ ) มีค่าอยู่ในช่วง 3.31 ถึง 5.02 และมีค่ามากที่สุดเมื่อปริมาณสารเจือ  $\text{Sr}^{2+}$  ที่  $x=0.20$  ซึ่งค่าสัมประสิทธิ์  $\alpha$  ดังกล่าวมีอย่างไม่เหมาะที่จะนำวัสดุดังกล่าวนำมาทำเป็นตัวต้านทานแบบバーเรียสเตอร์ (varistor resistance)



ภาพที่ 2-22 แสดงความสมพันธ์แบบไม่เป็นเชิงเส้น (non linear properties) ในวัสดุ  $\text{Ca}_x\text{Sr}_{(1-x)}\text{Cu}_3\text{Ti}_4\text{O}_{12}$  ( $x=0.00, 0.05, 0.10$  และ  $0.20$ )

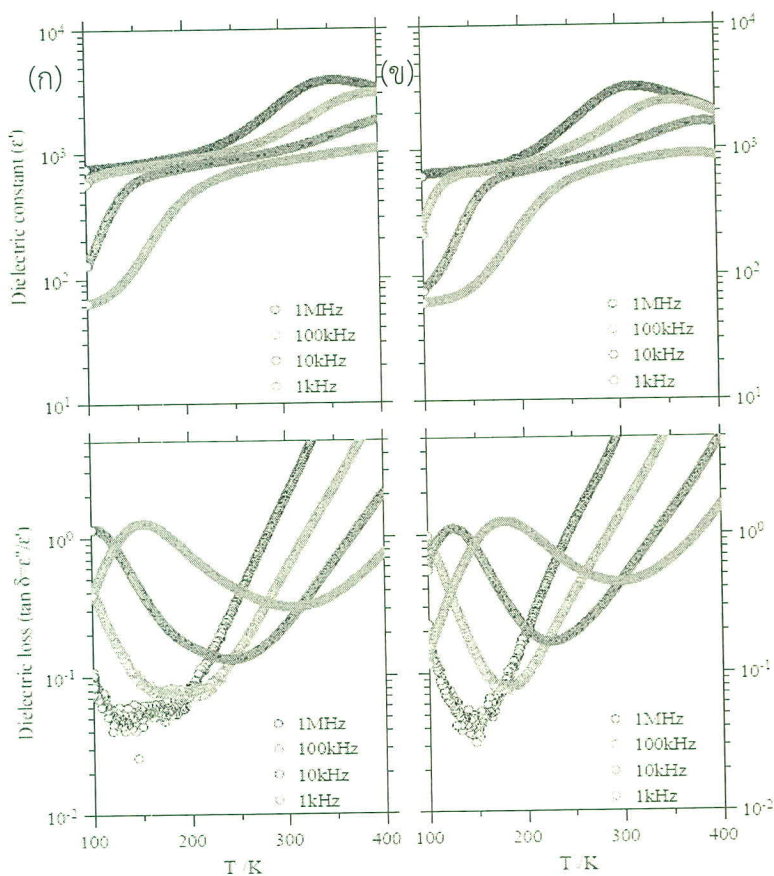
ปี ค.ศ. 2014 กลุ่มของ Alok Kumar Rai ได้รายงานผลการเจือ พาชิโอไดเมียม Pr ( $r_A=1.82$  Å) ซึ่งเป็นธาตุในหมู่แรเอร์ทเข้าไปแทนในตำแหน่ง Ca ( $r_A=1.97$  Å) โดยใช้สูตร  $\text{Ca}_{(1-3x/2)}\text{Pr}_x\text{Cu}_3\text{Ti}_4\text{O}_{12}$  ( $x=0.10$  และ  $0.20$ ) เตรียมด้วยวิธีทางเคมี (Chemical method) โดยใช้สารประกอบหลักในการเตรียมเป็นสารประกอบอะซิเตตและไนเตรต เช่น  $\text{Ca}(\text{C}_2\text{H}_3\text{O}_2)_2\text{H}_2\text{O}$ ,

$\text{Cu}(\text{C}_2\text{H}_3\text{O}_2)\cdot 2\text{H}_2\text{O}$ ,  $\text{Pr}(\text{NO}_3)_3\cdot 6\text{H}_2\text{O}$ ,  $\text{C}_{16}\text{H}_{36}\text{O}_4\text{Ti}$  และใช้กรดอะซิติกเป็นตัวทำละลาย และวัสดุที่เตรียมได้ผ่านนีกที่อุณหภูมิ  $1000^\circ\text{C}$  ด้วยเวลา 5 ชั่วโมง ผลการทดลองพบว่าพื้นหลังของวัสดุที่เตรียมได้แสดงเฟสปลอมปน (impurity) ของพื้น  $\text{CuO}$  และ  $\text{CaTiO}_3$  ในวัสดุที่เตรียมได้ โดยที่เฟสปลอมปนดังกล่าวอาจเนื่องมากจากอุณหภูมิในการผ่านนีกไม่สูงพอ ดังแสดงในภาพที่ 2-23



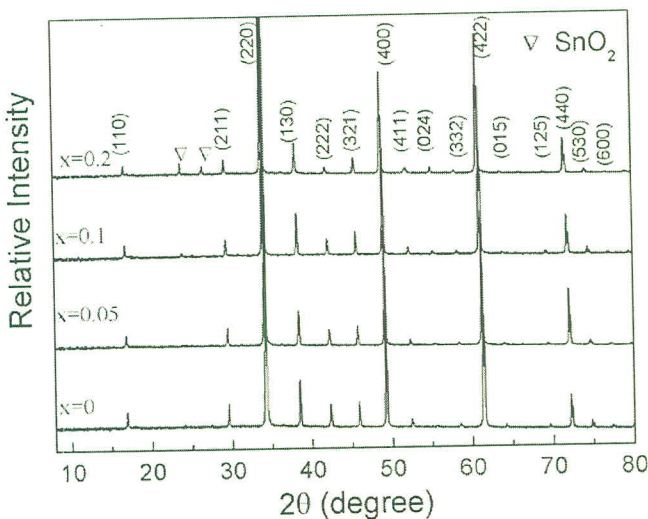
ภาพที่ 2-23 แสดงพื้นหลักของวัสดุ  $\text{Ca}_{(1-3x/2)}\text{Pr}_x\text{Cu}_3\text{Ti}_4\text{O}_{12}$  ( $x=0.10$  (g) และ  $0.20$  (h)) เมื่อผ่านนีกที่อุณหภูมิ  $1000^\circ\text{C}$  ด้วยเวลา 5 ชั่วโมง

และการศึกษาค่าคงที่ไดอิเล็กตริกและ  $\tan\delta$  พบร่วมค่าลดลงเมื่อปริมาณสารเจือเพิ่มขึ้น และมีค่า  $\tan\delta$  มากกว่า 0.05 จึงยังไม่เหมาะสมในการนำมาประยุกต์ใช้เป็นวัสดุไมโครอิเล็กทรอนิกส์ โดยที่ค่าคงที่ไดอิเล็กตริกและ  $\tan\delta$  ในวัสดุ  $\text{Ca}_{(1-3x/2)}\text{Pr}_x\text{Cu}_3\text{Ti}_4\text{O}_{12}$  เมื่อ  $x=0.10$  และ  $0.20$  แสดงดังภาพที่ 2-24



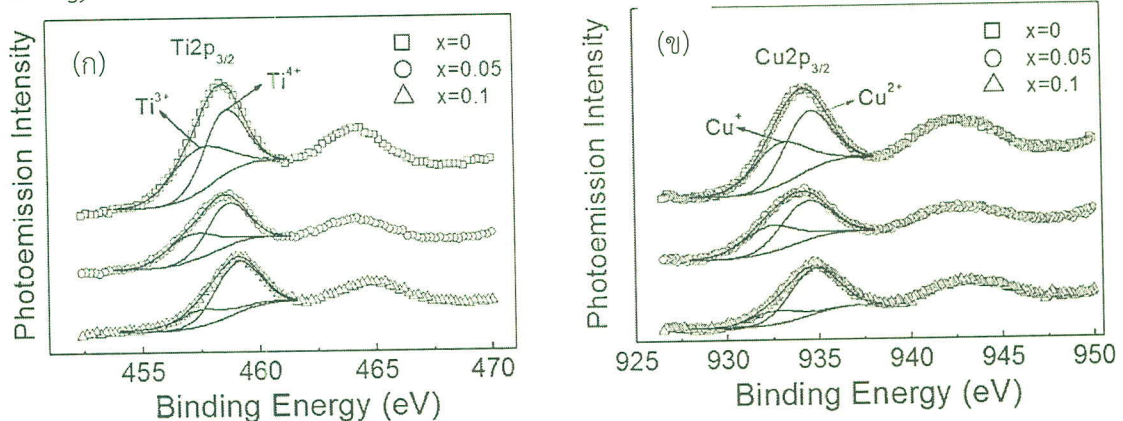
ภาพที่ 2-24 แสดงค่าคงที่ไดอิเล็กตริก และค่า  $\tan\delta$  ที่เปลี่ยนแปลงตามอุณหภูมิของวัสดุ  $\text{Ca}_{(1-3x/2)}\text{Pr}_x\text{Cu}_3\text{Ti}_4\text{O}_{12}$  ( $x=0.10$  (ก) และ  $0.20$  (ข)) เมื่อเผาผนึกที่อุณหภูมิ  $1000^\circ\text{C}$  ด้วยเวลา 5 ชั่วโมง

เมื่อไม่นานมานี้ กลุ่มของ Lei Ni 2010 ได้ศึกษาการเปลี่ยนแปลงโครงสร้างและค่าคงที่ไดอิเล็กตริก และค่า  $\tan\delta$  เมื่อเจือทิน (Sn) เข้าไปยังตัวแหน่ง Ti ด้วยวิธีปฏิกิริยาแบบของแข็ง (Solid state reaction) โดยใช้สารตั้งต้นเป็น  $\text{CaCO}_3$ ,  $\text{CuO}$  และ  $\text{TiO}_3$  ด้วยสูตร  $\text{CaCu}_3(\text{Ti}_{1-x}\text{Sn}_x)_4\text{O}_{12}$  ( $x = 0, 0.05, 0.1, 0.2$ ) จากการศึกษาโครงสร้างของวัสดุที่เตรียมได้ เมื่อเผาผนึกที่อุณหภูมิ  $1100^\circ\text{C}$  ด้วยเวลา 3 ชั่วโมง ด้วยเทคนิค XRD ไม่พบเฟสปลอมปน เมื่อบริmanสารเจือ เพิ่มจนถึง 0.1 แต่เมื่อสารเจือ เพิ่มเป็น 0.2 เกิดเฟสปลอมปน  $\text{SnO}_2$  ดังแสดงในภาพที่ 2-25 และจากการศึกษาโครงสร้าง ด้วยโปรแกรมรีทเวลท์ (Riet veld method) พบว่า CCTO มีโครงสร้างเป็น แบบพอร์ฟสไกท์ (porvskit) กลุ่ม  $\text{Im}3$  และมีค่าคงที่แลตทิตเพิ่มขึ้นเมื่อปริมาณสารเจือเพิ่มขึ้น บ่งบอกได้ว่า Sn ที่เข้าไปแทนใน Ti ได้ปริมาณเท่ากับ 0.1 ถ้าปริมาณมากกว่านั้นจะทำให้ Sn ที่เหลือไปฟอร์มตัวกันเกิดเป็นเฟสปลอมปน  $\text{SnO}_2$



ภาพที่ 2-25 แสดงพีคหลักของวัสดุ  $\text{CaCu}_3(\text{Ti}_{1-x}\text{Sn}_x)_4\text{O}_{12}$  ( $x = 0, 0.05, 0.1, 0.2$ ) ผ่านนึกที่อุณหภูมิ  $1000^\circ\text{C}$  ตัวยเวลา 5 ชั่วโมง

จากการศึกษาผลของสารเจือ Sn ต่อค่าคงที่ไดอิเล็กตริกพบว่าค่าคงที่ไดอิเล็กตริกในวัสดุที่เจือด้วย Sn มีค่าลดลงและมีพีคในการผ่อนคลาย (Relaxation peak) เกิดขึ้นที่อุณหภูมิสูงขึ้นเนื่องด้วยอัตราส่วนของพลังงานยึดเหนี่ยวอ่อนระหว่าง  $\text{Ti}^{3+}/\text{Ti}^{4+}$  ลดลงเป็น 0.94, 0.78 และ 0.45 ส่วนอัตราส่วนพลังงานยึดเหนี่ยวอ่อนระหว่าง  $\text{Cu}^+/ \text{Cu}^{2+}$  ลดลงเป็น 0.87, 0.80 และ 0.29 เมื่อปริมาณสารเจือ Sn เพิ่มจาก 0.00 เป็น 0.05 และ 0.10 ตามลำดับ เมื่อศึกษาพลังงานยึดเหนี่ยว (binding energy) ดังแสดงในภาพที่ 2-26



ภาพที่ 2-26 แสดงภาพスペกตรัมของ XPS (X-ray photoelectron spectroscopy) ที่ (g) Ti และ (h) Cu วัสดุ  $\text{CaCu}_3(\text{Ti}_{1-x}\text{Sn}_x)_4\text{O}_{12}$  ( $x = 0, 0.05, 0.1, 0.2$ )

และยังมีผลการเจือไออ่อนในตำแหน่งต่างๆ ในวัสดุ CCTO ซึ่งรวมไว้ดังตารางที่ 2-2

ตารางที่ 2-2 สรุประยงานการวิจัยที่ผ่านมาเกี่ยวกับการเจือไวน์โลหต่างๆ ในวัสดุ CCTO

ไออนโลหะและ ปริมาณที่เจือ	โครงสร้างและลักษณะสัณฐาน วิทยา	สมบัติไดอีเล็กตริกที่ 1 kHz	กลุ่มวิจัย
$\text{Ca}_{(1-x)}\text{Sr}_x\text{Cu}_3\text{Ti}_4\text{O}_{12}$ ( $0 < x < 0.2$ )	ค่าคงที่ผลึกเพิ่มตามปริมาณ สารเจือ	ค่า $\epsilon'$ เพิ่มเมื่อสารเจือ เพิ่มขึ้น	Schmidt, Sinclair, 2010
$\text{Ca}_{(1-3x/2)}\text{La}_x\text{Cu}_3\text{Ti}_4\text{O}_{12}$ ( $0 < x < 0.05$ )	-ไม่มีการเปลี่ยนตำแหน่งพีค -ขนาดเกรนเฉลี่ยมีค่าลดลง เมื่อ ปริมาณสารเจือ La เพิ่มขึ้น จาก 10 เป็น $50 \mu\text{m}$	ค่า $\epsilon'$ ลดเมื่อสารเจือ เพิ่มขึ้น	Cheng etal., 2009
$\text{Ca}_{(1-3x/2)}\text{Dy}_x\text{Cu}_3\text{Ti}_4\text{O}_{12}$ ( $0 < x < 0.10$ )	-ไม่มีการเปลี่ยนตำแหน่งพีคและ ค่าคงที่ผลึกลดลงเมื่อเจือ Dy - ขนาดเกรนเล็กมาก ( $0.5-5 \mu\text{m}$ ) แต่เมื่อเจือมากเกินไปจะหลอม	-ค่า $\epsilon'$ ลดและค่า $\tan\delta$ เพิ่มขึ้น เมื่อสารเจือเพิ่มขึ้น	Kashyap et al., 2012
$\text{CaCu}_3\text{Ti}_{4-x}\text{Mn}_x\text{O}_{12}$ ( $0 < x < 0.15$ )	เมื่อเจือ Mn จะเกิดเฟสปลอมปน ของ $\text{Cu}_2\text{TiO}_3$	-ค่า $\epsilon'$ ลดจาก 10000 เป็น 100 เมื่อสารเจือเพิ่มขึ้น	Cai et al., 2007
$\text{CaCu}_{3-x}\text{Mg}_x\text{Ti}_4\text{O}_{12}$ ( $0 < x < 0.1$ )	-ค่าคงที่ผลึกมีค่าเพิ่มขึ้นเมื่อ ปริมาณ Mg เพิ่มโดยไม่เกิดเฟส ปลอมปน -ขนาดเกรนเฉลี่ย เป็น 21.8, 36.2 และ $23.6 \mu\text{m}$ ( $x=0, 0.05, 0.1$ )	ค่า $\epsilon'$ เพิ่มขึ้นเป็น 125,530 เมื่อ $\text{Mg}=0.1$ และค่า $\tan\delta$ ลดลงเมื่อ $\text{Mg}$ เพิ่มขึ้น	Ni, Chen., 2009
$\text{CaCu}_{3-x}\text{Zn}_x\text{Ti}_4\text{O}_{12}$ ( $0 < x < 0.2$ )	เกิดเฟสปลอมปนสำหรับวัสดุผง แต่ไม่พบในเม็ดวัสดุ โดยที่ขนาด เกรนใกล้เคียงกันประมาณ $4 \mu\text{m}$	เมื่อเจือ $\text{Zn}=0.06$ จะทำ ให้วัสดุมีค่า $\epsilon'$ มากที่สุด และค่า $\tan\delta=0.0987$	Xu et al., 2012

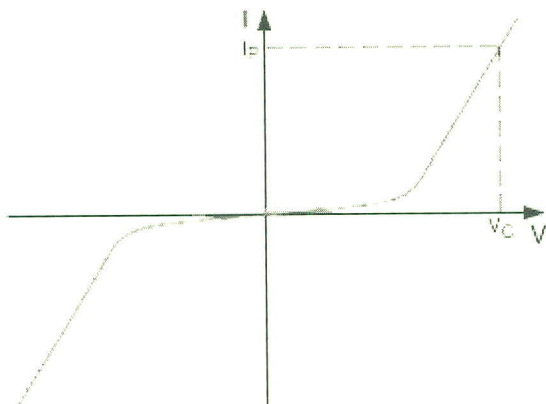
ตารางที่ 2-2 (ต่อ) สรุประยงานการวิจัยที่ผ่านมาเกี่ยวกับการเจือไอน์โลหะต่างๆ ในวัสดุ CCTO

ไอออนโลหะและ ปริมาณที่เจือ	โครงสร้างและลักษณะสัณฐานวิทยา	สมบัติไดอิเล็กทริกที่ 1 kHz	กลุ่มวิจัย
$\text{CaCu}_3\text{Ti}_{4-x}\text{Co}_x\text{O}_{12}$ ( $0 < x < 0.3$ )	-โครงสร้างมีการเปลี่ยนแปลงและค่าคงที่ผลึกเพิ่มขึ้นเมื่อเพิ่มสารเจือ Co -ขนาดเกรนลดลงเมื่อเจือ Co และขนาดเกรนเฉลี่ยจะมีค่าประมาณ 2-8 $\mu\text{m}$	ค่า $\epsilon'$ เพิ่มเมื่อสารเจือเพิ่มขึ้น ค่า $\tan\delta$ เพิ่มขึ้นเมื่อสารเจือเพิ่มจนถึง 0.2 และลดลงเมื่อเจือ 0.3	Rei et al, 2010
$\text{CaCu}_3\text{Ti}_{4-x}\text{Nb}_x\text{O}_{12}$ ( $0 < x < 0.4$ )	โครงสร้างไม่มีการเปลี่ยนแปลงจน $x=0.2$ แต่ค่าคงที่ผลึกเพิ่มตามปริมาณ Nb และขนาดเกรนเฉลี่ยลดลงเมื่อปริมาณสารเจือเพิ่มขึ้น	ค่า $\epsilon'$ เพิ่มขึ้นเมื่อสารเจือเพิ่มขึ้น ในช่วงความถี่ $10^2 - 10^4 \text{ Hz}$ และมีค่ามากที่สุด 420,000 ที่ $x=0.2$ ค่า $\tan\delta$ เพิ่มขึ้นเมื่อสารเจือ	Hong et al., 2007
$\text{CaCu}_3\text{Ti}_{4-x}\text{Hf}_x\text{O}_{12}$ ( $0 < x < 0.2$ )	เกิดเฟสปломปน $\text{HfTiO}_4$ และ $\text{CuO}$ ขนาดเกรนลดลง เมื่อเพิ่มสารเจือ Hf	-ค่า $\epsilon'$ ลดและค่า $\tan\delta$ ลดลง เมื่อสารเจือเพิ่มขึ้น	Rubia et al., 2012
$\text{CaCu}_3(\text{Ti}_{1-x}\text{Sn}_x)_4\text{O}_{12}$ ( $0 < x < 0.2$ )	โครงสร้างผลึกไม่เปลี่ยนแปลงจน $x=0.1$ และขนาดเกรนลดลงเมื่อ $x=0.1$	-ค่า $\epsilon'$ ลดและค่า $\tan\delta$ ลดลง เมื่อสารเจือเพิ่มขึ้น	Ni et al., 2010
$\text{CaCu}_3\text{Ti}_{4-x}\text{Zr}_x\text{O}_{12}$ ( $0 < x < 0.5$ )	ไม่มีการเปลี่ยนเฟส และค่าคงที่ผลึกมีค่าเพิ่มขึ้นเล็กน้อย และขนาดเกรนก็เพิ่มขึ้นตาม ปริมาณ Zr	-ค่า $\epsilon'$ เพิ่มและค่า $\tan\delta$ เพิ่มขึ้น เมื่อสารเจือเพิ่มขึ้น	Jesurani et al., 2013

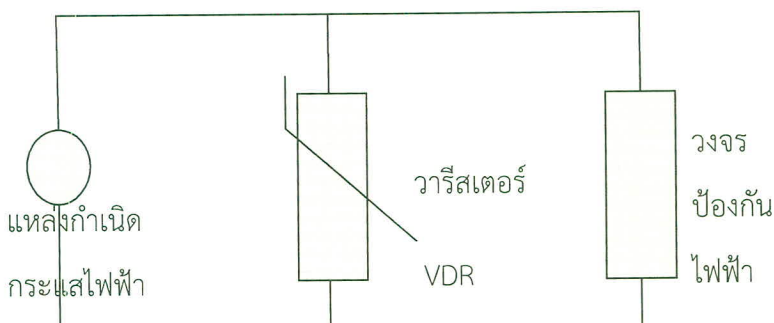
## 2.8 ลักษณะความสัมพันธ์ระหว่างกระแสกับความต่างศักย์ในวัสดุกลุ่ม CCTO

ตัวต้านทานที่ปรับค่าได้หรือที่เรียกว่า “瓦里สเตอร์” (Voltage dependent Resistors, VDRs) โดยที่瓦里สเตอร์ที่กล่าวถึงนี้คืออุปกรณ์สารกึ่งตัวนำที่มีความต้านทานเปลี่ยนตามสนามไฟฟ้า

โดยที่หกราฟความสัมพันธ์ระหว่างกระแสไฟฟ้าและความต่างศักย์ไฟฟ้าแสดงในภาพที่ 2-27 และเมื่อนำวารีสเตอร์ไปต่อเข้ากับอุปกรณ์ไฟฟ้าดังแสดงในภาพที่ 2-28 โดยวารีสเตอร์จะทำหน้าที่ทำงานคล้ายกับซีเนอไดโอด หรืออาจนิยามได้ว่าเป็นตัวควบคุม กระแสไฟฟ้าของชา กันนั่นคือเมื่อกระแสไฟฟ้าผ่านวารีสเตอร์ได้ เพื่อที่จะสามารถถักหาระดับความต่างศักย์ไฟฟ้าให้อยู่ในสภาพปกติ ภายในวงจรไฟฟ้าได้ และเมื่างานชนิดที่มีลักษณะการทำงานคล้ายกับไดโอด แต่จุดการทำงานจะสูงกว่าที่กำหนดนั่นคือ วัสดุที่ทำงานเป็นวารีสเตอร์ จะสำคัญมากในการทำงานเป็นตัวแทนที่ปรับค่าได้



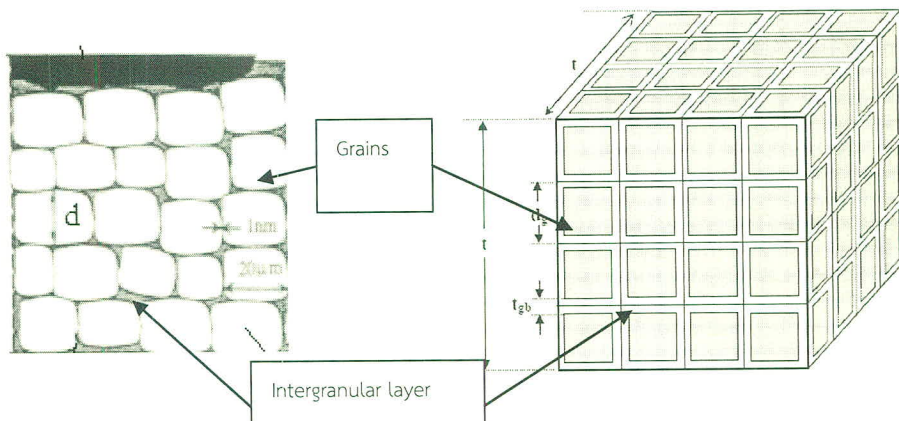
ภาพที่ 2-27 กราฟแสดงความสัมพันธ์ระหว่างกระแสไฟฟ้าและความต่างศักย์ (I-V curve) ที่เกิดในวารีสเตอร์



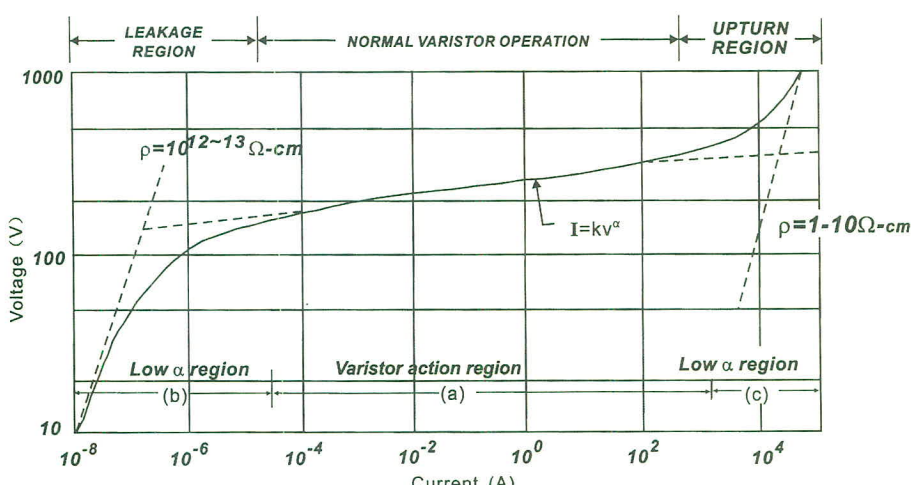
ภาพที่ 2-28 แผนภาพการต่อวงจรไฟฟ้าเข้ากับวารีสเตอร์

ในปัจจุบันเซรามิก SiC และ ZnO เป็นวัสดุที่มีสมบัติเปลี่ยนความต้านทานเมื่อความต่างศักย์เปลี่ยนไป แสดงในภาพที่ 2-28 โดยลักษณะโครงสร้างทางจุลภาคของวัสดุทั้ง 2 ชนิดนี้ประกอบด้วยเกรน (grain) และชั้นชั้นวนระหว่างเกรน (intergranular Layer, IGL) ดังแสดงในภาพที่ 2-29 (ก) สำหรับลักษณะโครงจุลภาคในวัสดุเซรามิกในอุดมคติจะเทียบได้ว่าขนาดเกรน และชั้นชั้นวนของเกรน ทั้งหมดมีขนาดเท่ากันดังแสดงในภาพที่ 2-29 (ข) หรือเรียกว่าอย่างหนึ่งได้ว่าโครงสร้างแบบ IBLC ซึ่งได้กล่าวไว้แล้วในหัวห้อที่ 3.2.3 โดยที่วัสดุที่เป็นวารีสเตอร์จะมีโครงสร้างที่แตกต่างกัน แต่สามารถใช้โครงสร้าง IBLC อธิบายถึงความเป็นวารีสเตอร์ ซึ่งสามารถอธิบายได้ว่าความหนาของชั้นชั้นวน

ระหว่างเกรนจะเป็นส่วนสำคัญที่ทำให้กระแสไฟฟ้าไหลผ่านไปได้ยาก ใช้อธิบายสมบัติทางไฟฟ้าได้ เมื่อนอกกัน เนื่องจากประจุไฟฟ้าออกกันที่บริเวณไกล์ๆ ขอบของเกรนเกิดเป็นความหนาแน่นประจุขึ้น ซึ่งส่งผลทำให้ประจุข้ามผ่านชั้นวนระหว่างเกรนได้ ดังนั้นวัสดุชนิดนี้จึงประกอบด้วยเกรน (Grain) ที่มีลักษณะเหมือนสารกึ่งตัวนำ และชั้นวนระหว่างเกรน (Grain boundary) ที่เป็นชั้นวนไฟฟ้า



ภาพที่ 2-29 แสดงโครงสร้างทางจุลภาคของวัสดุเซรามิกที่เป็นวารีสเตอร์ที่ประกอบองค์ประกอบที่เป็นเกรน และชั้นวนระหว่างเกรน (IGLs) (ก) โครงสร้างจากการทดลอง และ (ข) โครงสร้างในทางอุดมคติ



ภาพที่ 2-30 แสดงความสัมพันธ์ระหว่างค่ากระแส (I) และสนามไฟฟ้า (E) ที่แสดงสมบัติความไม่เป็นเส้นในวัสดุวารีสเตอร์

เนื่องจากวัสดุแต่ละชนิดมีความหนา (thickness) ที่ต่างกัน จึงไม่สามารถนำความสัมพันธ์ระหว่างค่ากระแสไฟฟ้า (I) และความต่างศักย์ (V) ได้ ดังนั้นสามารถจัดสมการใหม่ให้อยู่ในรูปความสัมพันธ์ระหว่าง ความหนาแน่นกระแสไฟฟ้า (J) กับสนามไฟฟ้า (E) ดังแสดงในภาพที่ 2-30

โดยสมการที่ใช้อธิบายความสัมพันธ์ระหว่างความหนาแน่นกระแสไฟฟ้ากับสนามไฟฟ้า ซึ่งเป็นสมการที่ใช้แสดงถึงสมบัติความไม่เป็นเชิงเส้น (Nonlinear characteristic) ของวารีสเตอร์คือ

$$J = k_1 E^\alpha \quad (2-3)$$

เมื่อ  $k_1$  คือค่าคงที่ และ  $\alpha$  คือค่าสัมประสิทธิ์ความไม่เป็นเชิงเส้น (nonlinear coefficient) โดยที่ค่าความหนาแน่นของ  $J_1$  และ  $J_2$  เป็นความหนาแน่นกระแสไฟฟ้า ณ ที่ค่ากระแสไฟฟ้าต่างกันอยู่ 10 จะสามารถเขียนสมการเพื่อหาค่า  $\alpha$  ได้เป็น

$$\alpha = \log_{10} \left( \frac{J_1}{J_2} \right) \quad (2-4)$$

เมื่อ  $J_1 > J_2$  หรือสามารถเขียนสมการ (2-3) ใหม่ได้เป็น

$$J = k_1 E^\beta \quad (2-5)$$

เมื่อ  $\beta = 1/\alpha$  และ  $k_v = k_1 E^{-\frac{1}{\alpha}}$  ดังนั้นเมื่อให้สนามไฟฟ้าจะสามารถหาความต้านทาน ( $R$ ) ได้จากสมการ (2-6)

$$R = k_v J^{\beta-1} = \frac{1}{k_v} E^{-(1-\alpha)} \quad (2-6)$$

จากที่กล่าวมาสามารถสรุปได้ว่า ค่า  $\alpha$  เป็นค่าที่มีความสำคัญมากในการนำรัศดุที่ศึกษาไปประยุกต์ใช้งานเป็นวัสดุวารีสเตอร์ ซึ่งในปัจจุบัน วัสดุ ZnO ที่ใช้งานได้จริงจะมีค่า  $\alpha$  ประมาณ 70 ดังนั้น ค่า  $\alpha$  จึงเป็นตัวบ่งชี้ได้ว่าวัสดุนั้นสามารถเปลี่ยนจาก蹲นไฟฟ้าเป็นตัวนำไฟฟ้าได้มากที่สุด

### 3. การประยุกต์ใช้งานวัสดุไดอิเล็กตริกเซรามิก

วัสดุไดอิเล็กตริกหรืออนวนเป็นวัสดุที่ไม่นำไฟฟ้าหรือมีค่าสภาพต้านทานไฟฟ้าสูงมาก จากคุณสมบัติพื้นฐานดังกล่าวนี้ทำให้ไดอิเล็กตริกบางชนิดถูกนำมาใช้งานโดยตรง คือทำหน้าที่เป็นวัสดุป้องกันการไหลผ่านของกระแสไฟฟ้า นอกจากนี้แล้วไดอิเล็กตริกยังเป็นวัสดุที่สามารถนำมาประดิษฐ์เป็นอุปกรณ์พื้นฐานทางอิเล็กทรอนิกส์ที่สำคัญ เช่น ตัวเก็บประจุ โดยตัวเก็บประจุที่พบตามห้องทดลอง ที่นำไปสามารถแบ่งออกได้หลายชนิด ขึ้นอยู่กับรูปร่างและชนิดของสารที่ใช้ทำไดอิเล็กตริก ซึ่งค่าความจุไฟฟ้าของตัวเก็บประจุทุกชนิดจะขึ้นกับค่าไดอิเล็กตริกของวัสดุที่นำมาประดิษฐ์ ตัวอย่างเช่น ตัวเก็บประจุแบบเซรามิกกลุ่มต่างๆ ดังแสดงในภาพที่ 2-31

Class I		Class II	Class III boundary layer	multilayer capacitor
mat.:	paraelectric materials	ferroelectric mat. based on BaTiO <sub>3</sub>	ferroelectric mat. doped BaTiO <sub>3</sub>	type 1 or type 2
$\epsilon_r$	20 ... 200	1000 ... 16000	$\epsilon_{eff} = 10^5$	as type 1 or 2
$\tan \delta$	0,2 ... $5 \cdot 10^{-3}$	$10 \dots 20 \cdot 10^{-3}$	$20 \dots 50 \cdot 10^{-3}$	as type 1 or 2
C	$1 \text{ pF} \dots 1 \text{ nF}$	$0,2 \dots 22 \text{ nF}$	$10 \dots 100 \text{ nF}$	$10 \text{ pF} \dots 10 \text{ nF}$ (type 1) $1 \text{ nF} \dots 1 \mu\text{F}$ (type 2)
P*	$\alpha_{el} + \alpha_{ion}$	$\alpha_{el} + \alpha_{ion} + \alpha_{or}$	$\alpha_{el} + \alpha_{ion} + \alpha_{or} + \alpha_{RL}$	$\alpha_{el} + \alpha_{ion} (+ \alpha_{or})$

\*polarization mechanism

ภาพที่ 2-31 ตัวเก็บประจุแบบเซรามิกกลุ่มต่างๆ [19]

ตารางที่ 2-3 ประสิทธิภาพต่อหน่วยปริมาตร (volumetric efficiency) และพลังงานที่ใช้ต่อหน่วยปริมาตรของตัวเก็บประจุชนิดต่างๆ

ชนิดของตัวเก็บประจุ (Capacitor type)	ประสิทธิภาพต่อหน่วยปริมาตร (Volumetric efficiency) ( $\mu\text{F cm}^{-3}$ )	พลังงานที่ใช้ต่อหน่วย ปริมาตร ( $\text{mJcm}^{-3}$ )
Electrolytes		
Aluminium	10	500
Tantalum chip	600	30
Double layer carbon (Supercapacitors)	$\sim 3 \times 10^6$	$\sim 2,500$
Polymer film		
Wound	0.02-2	1-10
Multilayer polymer	$\sim 5$	$\sim 1$
Single layer ceramic		
NP0/C0G	$\sim 10^{-4}$	0.25
Z5U/Y5V	$8 \times 10^{-2}$	1.5
Ceramic multilayer		
NP0/C0G	0.5	1.5
X7R	30	35
Z5U/Y5V	300	40

(Moulson, Herbert, 2003)

ตารางที่ 2-4 รหัสของตัวเก็บประจุกลุ่มที่ 2 และ 3 สำหรับการเลือกใช้งานในช่วงอุณหภูมิต่างๆ ในช่วงการเปลี่ยนแปลงของค่าความจุไฟฟ้าต่างๆ

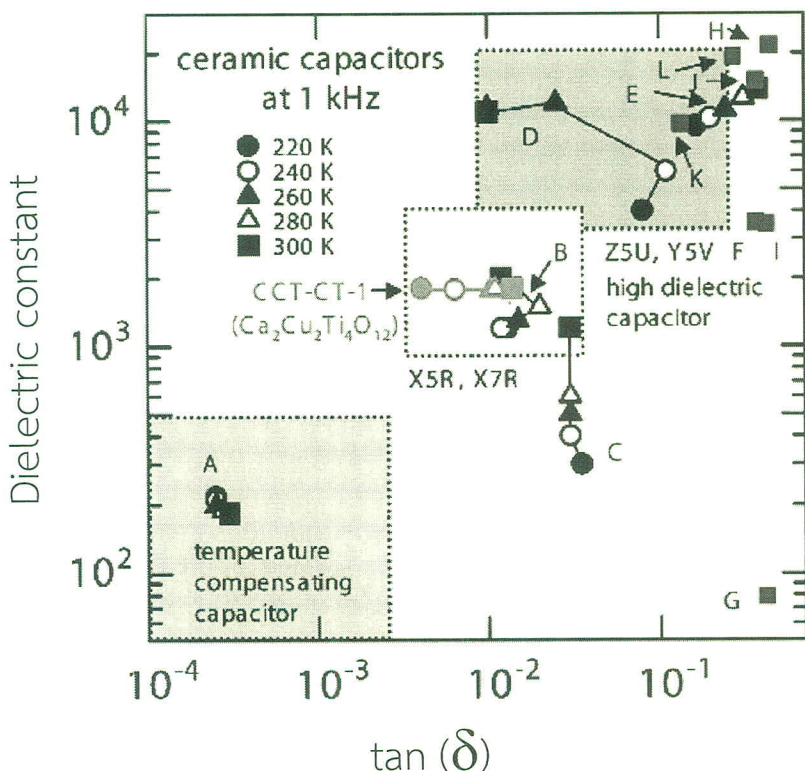
EIA Code	ช่วงอุณหภูมิ ( $^{\circ}\text{C}$ )	EIA Coded	การเปลี่ยนแปลงของค่าความจุไฟฟ้า (%)
X5	-55 ถึง +85	D	$\pm 3.3$
X7	-55 ถึง +125	E	$\pm 4.7$
X8	-55 ถึง +150	F	$\pm 7.5$
Y5	-30 ถึง +85	P	$\pm 10$
Z5	+10 ถึง +85	R	$\pm 15$
		S	$\pm 22$
		T	-33 ถึง +22
		U	-56 ถึง +22
		V	-82 ถึง +22

(Moulson, Herbert, 2003)

หมายเหตุ EIA (Electronics Industries Alliance) Codes D-R คือกลุ่ม 2 และ EIA Codes S-V คือกลุ่ม 3 ตัวอย่าง เช่น Z5U คือ ตัวเก็บประจุกลุ่ม 3 ที่ต้องการใช้งานในช่วงอุณหภูมิ  $10^{\circ}\text{C}$  ถึง  $85^{\circ}\text{C}$  และมีการเปลี่ยนแปลงของค่าความจุไฟฟ้าไม่เกิน -56% ถึง +22%

จากภาพที่ 2-31 และตารางที่ 2-3 และ 2-4 สามารถพิจารณาได้ว่า มีความเป็นไปได้ในการนำวัสดุ CCTO มาประดิษฐ์เป็นตัวเก็บประจุ และสามารถจัดตัวเก็บประจุดังกล่าวนี้อยู่ในตัวเก็บประจุกลุ่มที่ 2 และ 3 เมื่อตัวเก็บประจุทั้งสองกลุ่มนี้ได้มีการใช้งานมาอย่างยาวนาน แต่วัสดุที่ใช้ในการประดิษฐ์ส่วนใหญ่เป็นวัสดุที่มี  $\text{BaTiO}_3$  เป็นองค์ประกอบ ซึ่งมีค่าคงที่ไดอิเล็กตริกเปลี่ยนแปลงตามอุณหภูมิเป็นอย่างมาก อีกทั้งวัสดุดังกล่าวมีกระบวนการเตรียมที่ยุ่งยากซับซ้อนและใช้อุณหภูมิในการสังเคราะห์สูง (complex multi-step processing) ในขณะที่ CCTO ใช้กระบวนการเตรียมที่ง่าย (one-step processing) [1] มีค่าคงที่ไดอิเล็กตริกสูงและคงที่ในช่วงอุณหภูมิที่กว้างมาก (ประมาณ -200 ถึง  $300^{\circ}\text{C}$ ) ด้วยเหตุนี้จึงก่อให้เกิดความหวังในการประดิษฐ์ตัวเก็บประจุที่สามารถใช้งานได้ในช่วงอุณหภูมิที่กว้างขึ้นและใช้ต้นทุนในการผลิตที่ต่ำลง แต่ปัญหาของการนำ CCTO มาประดิษฐ์เป็นตัวเก็บประจุ คือ การมีค่าแทนเจนต์ของการสูญเสียทางไดอิเล็กตริก สูง โดยค่าที่เหมาะสมสำหรับวัสดุไดอิเล็กตริกที่นำมาประดิษฐ์เป็นตัวเก็บกลุ่มที่ 2 และ 3 ควรมีค่าอยู่ในช่วง 0.01-0.05 ดังแสดงภาพที่ 2-32 และจากผลการศึกษาความเป็นไปได้ในการนำวัสดุ CCTO มาประดิษฐ์เป็นตัวเก็บประจุ [27] ดังแสดงดังภาพที่ 2-32 พบร่วมสมบัติทางไดอิเล็กตริกของวัสดุคอมโพสิต CCTO/ $\text{CaTiO}_3$  จัดอยู่ในกลุ่mvัสดุที่สามารถประดิษฐ์เป็นตัวเก็บประจุมาตรฐานแบบ X5R และ X7R ได้ โดยวัสดุที่ใช้

ประดิษฐ์ตัวเก็บประจุกลุ่มดังกล่าววนั้นประกอบไปด้วย  $\text{BaTiO}_3$  และ  $\text{Pb}(\text{Sc}_{1/2}\text{Ta}_{1/2})\text{O}_3$  ซึ่งวัสดุทั้งสองนี้ได้ถูกใช้ประดิษฐ์เป็นตัวเก็บประจุที่ใช้กันอย่างแพร่หลายในปัจจุบัน เมื่อเปรียบเทียบกับวัสดุคอมโพสิต CCTO/CaTiO<sub>3</sub> พบร่วมกับการเปลี่ยนแปลงของค่าคงที่ไดอิเล็กทริกของ CCTO/CaTiO<sub>3</sub> คือ  $\pm 1.0\%$  ซึ่งเป็นค่าที่น้อยที่สุดในกลุ่mvัสดุที่สามารถประดิษฐ์เป็นตัวเก็บประมาตรฐานแบบ X5R และ X7R อีกทั้งมีค่าคงที่ไดอิเล็กทริกที่คงที่ในช่วงอุณหภูมิที่กว้างกว่าอีกด้วย ดังนั้นสามารถสรุปได้ว่า CCTO/CaTiO<sub>3</sub> จัดเป็นวัสดุที่มีสมบัติทางไดอิเล็กทริกที่ดีที่สุดในกลุ่mv X5R และ X7R และที่สำคัญอย่างยิ่งการเตรียมวัสดุ CCTO/CaTiO<sub>3</sub> ใช้ต้นทุนในการผลิตต่ำกว่าวัสดุชนิดอื่นในกลุ่mv เดียวกันเนื่องจากมีกระบวนการเตรียมที่ง่าย ไม่ต้องควบคุมในเรื่องของความดันบรรยากาศ และใช้อุณหภูมิในการเตรียมต่ำกว่าวัสดุที่ใช้ประดิษฐ์ตัวเก็บประจุแบบดั้งเดิม



ภาพที่ 2-32 สมบัติทางไดอิเล็กทริกของวัสดุเซรามิก  $\text{Ca}_2\text{Cu}_2\text{Ti}_4\text{O}_{12}$  เปรียบเทียบกับสมบัติทางไดอิเล็กทริกของวัสดุที่ใช้ประดิษฐ์เป็นตัวเก็บประจุในปัจจุบัน และแบ่งเป็น 3 กลุ่ม (ล้อมรอบด้วยกรอบสีเหลือง) ตามการประดิษฐ์ เป็นตัวเก็บประจุชนิดกลุ่มต่าง ๆ [27]

นอกจากการประยุกต์ใช้งานวัสดุไดอิเล็กทริกในการประดิษฐ์เป็นตัวเก็บประจุแล้ว ยังสามารถนำมาใช้ทำเป็นสิ่งประดิษฐ์ทางอิเล็กทรอนิกส์ที่สำคัญ คือ สิ่งประดิษฐ์ความจำ (memory

devices) ดังเช่น DRAM (Dynamic Random Access Memory) ซึ่งเป็นหน่วยความจำที่มีความจุสูง โดยโครงสร้างภายในประกอบด้วย ทรานซิสเตอร์และชั้นของตัวเก็บประจุ (capacitance layer) ดังนั้นการบันทึกข้อมูลลงบน DRAM ก็คือการถ่ายประจุไฟฟ้าไปเก็บไว้ในเซลล์ของตัวเก็บประจุนั้นเอง แต่การที่ภายใน DRAM ประกอบด้วยเซลล์ของตัวเก็บประจุซึ่งทำให้มีปัญหาเกี่ยวกับการรั่วซึมของประจุอันเนื่องมาจากการสูญเสียทางไดอิเล็กตริกเกิดขึ้น ดังนั้นการพัฒนาอุปกรณ์ DRAM จึงต้องพัฒนาวัสดุไดอิเล็กตริกควบคู่กันไปด้วย ความจุไฟฟ้าของเซลล์ตัวเก็บประจุที่อยู่ใน DRAM สามารถคำนวณได้ดังสมการ

$$C_s = \epsilon_0 \epsilon_r \frac{A_s}{t} \quad (2-7)$$

เมื่อ  $C_s$  คือความจุไฟฟ้าของเซลล์ตัวเก็บประจุใน DRAM,  $\epsilon_r$  คือค่าคงที่ไดอิเล็กตริกของวัสดุที่นำมาประดิษฐ์เซลล์ตัวเก็บประจุ,  $A_s$  คือพื้นที่ผิวของอิเล็กโทรด และ  $t$  คือความหนาของชั้นไดอิเล็กตริกภายในเซลล์ จากสมการที่ (2-7) พบว่าถ้าต้องการเพิ่มความจุไฟฟ้าของเซลล์ใน DRAM ต้องเพิ่มพื้นที่ของอิเล็กโทรดและลดความหนาเซลล์ตัวเก็บประจุภายใน DRAM และใช้วัสดุไดอิเล็กตริกที่มีค่าคงที่ไดอิเล็กตริกสูงและสามารถเตรียมเป็นฟิล์มบางได้ แต่ในการใช้งานในปัจจุบันซึ่งต้องการ DRAM ให้มีขนาดเล็กมาก ดังนั้นจึงไม่สามารถเพิ่มพื้นที่ของอิเล็กโทรด การเพิ่มค่าความจุไฟฟ้าภายใน DRAM จึงต้องการวัสดุที่มีค่าคงที่ไดอิเล็กตริกที่สูงมากมาประดิษฐ์เป็นเซลล์ ทำให้การพัฒนาปรับปรุงสมบัติของ DRAM สืบเนื่องมาจากการค้นพบ CCTO ทำให้วัสดุดังกล่าวนี้ได้รับความสนใจเป็นอย่างมากในการที่จะนำมาประดิษฐ์เป็นเซลล์ตัวเก็บประจุใน DRAM เนื่องจาก CCTO สามารถเตรียมให้อยู่ในรูปของพิล์มบางได้โดยพฤติกรรมทางไดอิเล็กตริกยังคงมีลักษณะเหมือนเดิมทุกประการและมีค่าคงที่ไดอิเล็กตริกอยู่ในช่วง  $10^3 - 10^4$  แต่อย่างไรก็ตามจากรายงานการวิจัยที่ผ่านมาค่าการสูญเสียไดอิเล็กตริกในวัสดุ CCTO ยังมีค่ามากกว่า 0.05 เนื่องจากวัสดุที่นำไปประยุกต์ใช้เป็นวัสดุไมโครอิเล็กทรอนิกส์ในอุตสาหกรรมจริงต้องมีค่าคงที่ไดอิเล็กตริกสูงและต้องมีค่าการสูญเสียทางไดอิเล็กตริกต่ำ ( $\tan\delta$ ) ซึ่งเป็นโจทย์วิจัยที่ได้รับความสนใจในการศึกษาและพัฒนาอย่างกว้างขวางในปัจจุบัน